



تحليل خصائص العناصر المناخية لمدينة المقدادية  
Analysis of the characteristics of the climatic elements of the city of  
Muqdadiya

أ. د. ازهار سلمان هادي  
جامعة ديالى / كلية التربية للعلوم الإنسانية

رشا احمد محمد  
المديرية العامة للتربية في ديالى

**Abstract**

*The city forms a special climatic region that represents a reflection of the activities of the various residents and the mutual influence between various natural, human and architectural factors, especially urban land uses, as well as the composition of the city represented by cement buildings and asphalt roads and their impact on the characteristics of climatic elements. The research deals with the analysis of the climatic characteristics of the city of Muqdadiya during the period (2000) - 2020) based on NASA data, as It was found that the lowest temperature recorded during the study period ranged between 1.8 – 25.3 in the months of January and July, respectively, and the highest temperature recorded ranged between Between 21.2 - 49.6 for the same two months In a row, and the wind speed ranged between 2.9 – 4.4 m/t. The northwesterly winds constituted (71.8%) and are the dominant ones in the region, and the relative humidity reached (17%) as the lowest rate In July. (60.8%) as the highest rate In January.*

**Email:**  
[dr.azharslman@gmail.com](mailto:dr.azharslman@gmail.com)  
[hum@uodiyala.edu.iq](mailto:hum@uodiyala.edu.iq)

**Published:** 1- 6-2024

**Keywords:** المناخ المحلي، تغيرات  
مناخية، مدينة المقدادية

هذه مقالة وصول مفتوح بموجب ترخيص

CC BY 4.0

(<http://creativecommons.org/licenses/by/4.0/>)



## الملخص

تشكل المدينة اقليماً مناخياً خاصاً يمثل انعكاس لنشاطات السكان المختلفة والتأثير المتبادل بين مختلف العوامل الطبيعية والبشرية والمعمارية وخاصة استعمالات الأرض الحضرية وكذلك تركيب المدينة المتمثل في مباني الاسمنت وطرق الاسفلت وتأثيرها على خصائص العناصر المناخية. يتناول البحث تحليل الخصائص المناخية لمدينة المقدادية خلال المدة (2000-2020) باعتماد بيانات وكالة ناسا، اذ تبين ان اقل درجة حرارة سجلت خلال مدة الدراسة تراوحت ما بين 1.8 - (25.3) في شهر كانون الثاني وتموز على التوالي، واعلى معدل سجل تراوح ما بين (21.2 - 49.6) ولنفس الشهرين على التوالي، وسرعة الرياح تراوحت ما بين (4.4 - 2.9) م/ثا. وشكلت الرياح الشمالية الغربية نسبة (71.8 %) وهي السائدة في المنطقة، وبلغت الرطوبة النسبية (17%) كأقل معدل في تموز، و(60.8%) كأعلى معدل في كانون الثاني.

## المقدمة

لقد ترافق نمو المدن بخلق بيئات متميزة بمناخها، ونظام بيئي عام أصابه التدهور في كثير من عناصره، وأصبحت المدينة اليوم عالماً متميزاً بتركيب جوه ومناخه ومشاكله. إذ إن أي تغير في ظهر سطح الأرض ينعكس على طبيعة المناخ السائد في المنطقة. ان المناطق التي شيد فيها الإنسان منشآته المختلفة، سواء كانت عمرانية، سكنية أم اقتصادية، والشوارع المكسوة بالأسفلت. كما ان الامتداد الأفقي للمدينة، والامتداد العمودي للمبني، وتوسيع شبكة الطرق. وأيضا تدفق الحرارة من المصانع، والمنازل، ووسائل النقل. فضلا عن تلوث هواء المدينة بالغبار والدخان والغازات والمركبات الكيميائية المختلفة، كلها السبب الرئيسي في خلق مناخ أصغرى ضمن المدينة مختلف عن مناخ المناطق المجاورة.

### اولاً: مشكلة البحث:

(ما هي الخصائص المناخية لمدينة المقدادية؟).

### ثانياً: فرضية البحث:

(لمدينة المقدادية خصائص مناخية شكلتها طبيعة سطح المدينة واستعمالات الأرض فيها).

### ثالثاً: هدف البحث:

يهدف البحث الى التعرف على الخصائص المناخية لمدينة المقدادية خلال المدة (2000-2020).

### رابعاً: حدود منطقة الدراسة:

تتمثل الحدود المكانية لمنطقة الدراسة بالحدود البلدية لمدينة المقدادية التي تمثل المركز الاداري لقضاء المقدادية كما يلاحظ من خريطة (1)، الذي يقع في وسط محافظة ديالى، يحدها من الشمال قرى سنسل ومن الغرب قرية الجلاي ومن الشرق قرية الهارونية ومن الجنوب قرية الحاج محسن. تقع فلكياً بين دائريتي عرض (34°00' \_ 20°57') شمالي وخطي طول (40°20'-44°53') شرقي، اما الحدود الزمانية للبيانات المناخية فحددت للمدة من (2000-2020) لموقع وكالة ناسا الفضائية.

### خامساً: منهجية البحث:

إتبعت الدراسة بعض مناهج وأساليب البحث الجغرافي، أبرزها المنهج الوصفي والمنهج التحليلي، وأستعمال الأسلوب الكمي.



### سادساً: طائق وأساليب البحث:

اعتمد البحث على بيانات من مسافة (2 متر) من سطح الأرض والتي تم تحميلاها من موقع وكالة ناسا الفضائية، كما تم تحويل وحدات قياس بيانات الإشعاع الشمسي من (الواط) إلى (الملي واط) اذ ان (1 واط) يساوي (1000 ملي واط)، كما تم حساب التبخر من خلال معادلة ثورنثويت وكذلك:

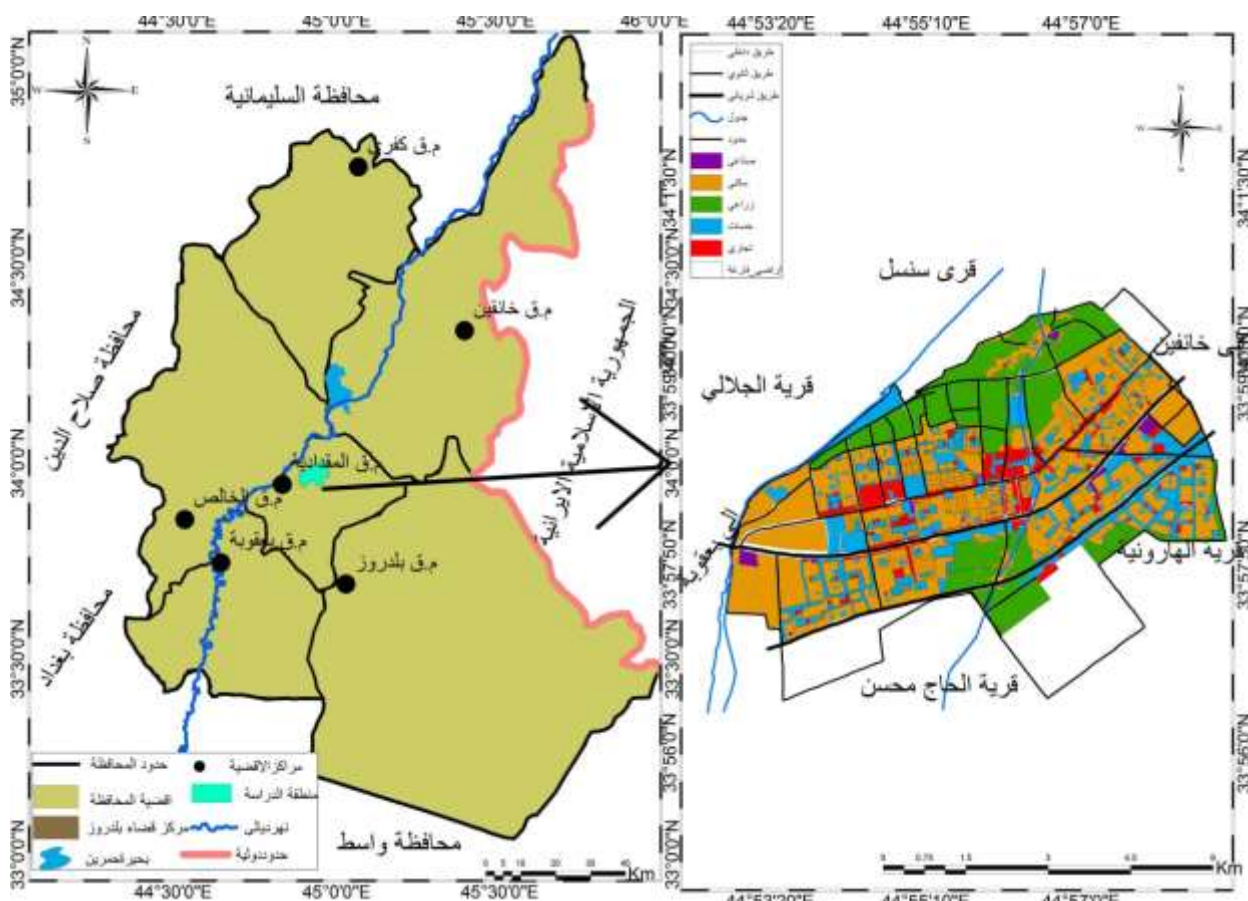
$$E = 16 \left( \frac{10T}{I} \right)^a$$

= كمية التبخر E

= درجة الحرارة T

= ثابت A

خريطة رقم (1) موقع منطقة الدراسة بالنسبة لمحافظة ديالى.



المصدر: من عمل الباحثة بالأعتماد على

1- خريطة محافظة ديالى بمقاييس 1:50000

2- خريطة التصميم الأساس لمدينة المقدادية لعام 2014



## تحليل خصائص العناصر المناخية لمدينة المقدادية

### أولاً: الاشعاع الشمسي

تتأثر الموازنة الاشعاعية للمدن بتباين الأنماط العمرانية فيها من حيث التصميم العمراني ومواد البناء والوانها والارتفاعات، اذ ان التباين العمراني هو المسؤول عن التباين المناخي في المناطق الحضرية، اذ ينعكس (70%) من الاشعاع الشمسي من سطح المبني، ويكون امتصاص الاشعاع للمساحات الحضرية ذات المبني المرتفعة بعيداً عن سطح الأرض، اذ ان الاشعاع ينفذ الى المبني او لا ثم الى السطح<sup>(1)</sup>.

يلاحظ من الشكل (1) ان أعلى معدل للإشعاع الشمسي سجل في شهر حزيران بواقع (794 ملي واط / سم<sup>2</sup>/يوم)، وبلغت ادنها في شهر كانون الاول بنحو (280 ملي واط / سم<sup>2</sup>/يوم). ويعود سبب تزايد الاشعة في أشهر الصيف الى تعامد اشعة الشمس على مدار السرطان في النصف الشمالي للأرض ومن ثم فأقل المسافة التي يقطعها الاشعاع الواصل من الشمس الى الأرض في حالة الاشعة العمودية والشبة عمودية يؤدي الى قلة الاشعة المفقودة من عمليات الامتصاص والتشتت والانعكاس التي تتعرض لها الاشعة اثناء مرورها عبر الغلاف الجوي، فضلاً عن طول النهار وصفاء السماء وقلة الغيوم الذي يؤثر بشكل مباشر في زيادة كمية الاشعاع الشمسي.

ويتبين من الشكل (2) تبايناً سنوياً طفيفاً في قيم الاشعاع الشمسي لمنطقة الدراسة، اذ بلغت اعلاها في العام (2001) بما يقارب (555 ملي واط / سم<sup>2</sup>/يوم)، وادنها في العام (2018) بـ (520 ملي واط / سم<sup>2</sup>/يوم).

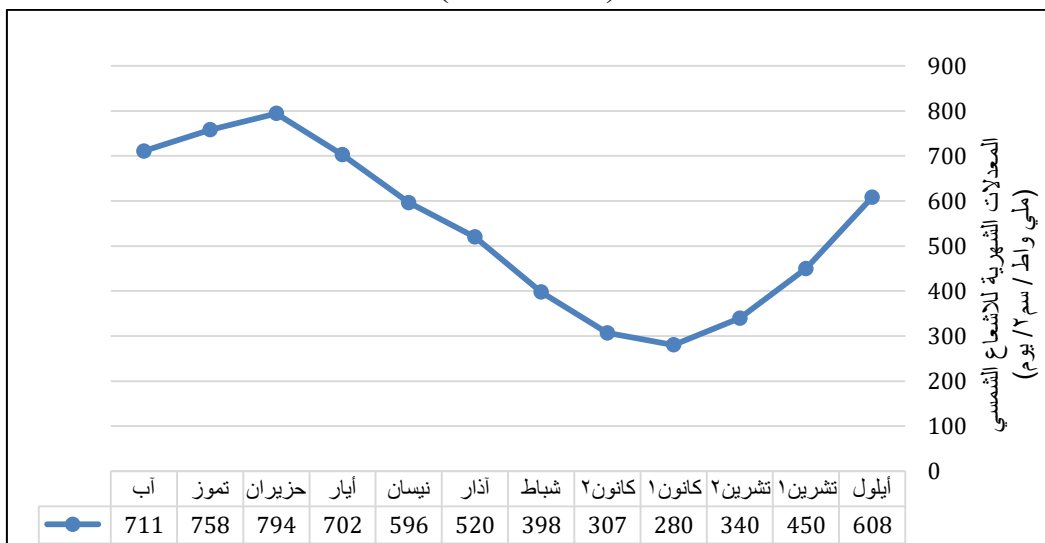
جدول (1) المعدلات الشهرية والسنوية للإشعاع الشمسي (ملي واط / سم<sup>2</sup>/يوم) في مدينة المقدادية للمدة (2000 - 2020).

| المعدل السنوي |       |      |       |       |       |        |        |          |        |       |        |      |       |               | السنة |
|---------------|-------|------|-------|-------|-------|--------|--------|----------|--------|-------|--------|------|-------|---------------|-------|
|               | أبريل | مايو | يونيو | يوليو | أغسطس | سبتمبر | أكتوبر | نوفember | ديسمبر | يناير | فبراير | مارس | أبريل | مايو          | يونيو |
| 533           | 736   | 727  | 758   | 712   | 583   | 550    | 452    | 289      | 249    | 307   | 457    | 572  | 2000  |               |       |
| 555           | 714   | 781  | 838   | 749   | 623   | 523    | 403    | 318      | 260    | 359   | 480    | 617  | 2001  |               |       |
| 540           | 730   | 782  | 812   | 740   | 533   | 518    | 419    | 295      | 244    | 349   | 437    | 616  | 2002  |               |       |
| 547           | 747   | 784  | 800   | 726   | 573   | 494    | 388    | 325      | 280    | 337   | 470    | 640  | 2003  |               |       |
| 553           | 735   | 803  | 830   | 724   | 622   | 541    | 396    | 294      | 292    | 316   | 445    | 638  | 2004  |               |       |
| 544           | 685   | 736  | 790   | 710   | 618   | 522    | 394    | 298      | 302    | 364   | 476    | 628  | 2005  |               |       |
| 541           | 695   | 771  | 830   | 709   | 563   | 555    | 373    | 303      | 285    | 364   | 409    | 636  | 2006  |               |       |
| 539           | 703   | 749  | 809   | 663   | 557   | 522    | 374    | 312      | 304    | 379   | 456    | 637  | 2007  |               |       |
| 531           | 686   | 733  | 774   | 715   | 596   | 528    | 404    | 293      | 313    | 360   | 420    | 551  | 2008  |               |       |
| 524           | 713   | 695  | 745   | 677   | 573   | 501    | 396    | 334      | 274    | 318   | 453    | 603  | 2009  |               |       |
| 533           | 702   | 746  | 774   | 693   | 576   | 478    | 360    | 326      | 295    | 388   | 469    | 588  | 2010  |               |       |
| 530           | 705   | 716  | 773   | 681   | 559   | 545    | 379    | 289      | 305    | 361   | 451    | 601  | 2011  |               |       |
| 532           | 699   | 757  | 787   | 666   | 606   | 544    | 389    | 315      | 275    | 311   | 422    | 613  | 2012  |               |       |
| 538           | 714   | 771  | 793   | 615   | 635   | 529    | 425    | 293      | 282    | 290   | 495    | 617  | 2013  |               |       |
| 539           | 711   | 764  | 773   | 699   | 605   | 523    | 433    | 291      | 277    | 355   | 423    | 613  | 2014  |               |       |
| 543           | 701   | 762  | 791   | 711   | 671   | 554    | 399    | 309      | 300    | 332   | 413    | 577  | 2015  |               |       |
| 548           | 701   | 756  | 768   | 716   | 642   | 510    | 417    | 325      | 276    | 374   | 475    | 614  | 2016  |               |       |
| 541           | 708   | 758  | 818   | 721   | 579   | 467    | 443    | 330      | 294    | 316   | 469    | 590  | 2017  |               |       |
| 520           | 710   | 760  | 788   | 646   | 585   | 517    | 320    | 309      | 231    | 277   | 390    | 601  | 2018  |               |       |
| 545           | 705   | 799  | 815   | 722   | 609   | 517    | 398    | 308      | 257    | 367   | 431    | 612  | 2019  |               |       |
| 547           | 726   | 771  | 813   | 757   | 618   | 481    | 390    | 294      | 289    | 310   | 504    | 612  | 2020  |               |       |
| 539           | 711   | 758  | 794   | 702   | 596   | 520    | 398    | 307      | 280    | 340   | 450    | 608  |       | المعدل الشهري |       |

المصدر بالاعتماد على: بيانات وكالة ناسا من الموقع: <http://geoturn.blogspot.com/2020/07/nasa.html>

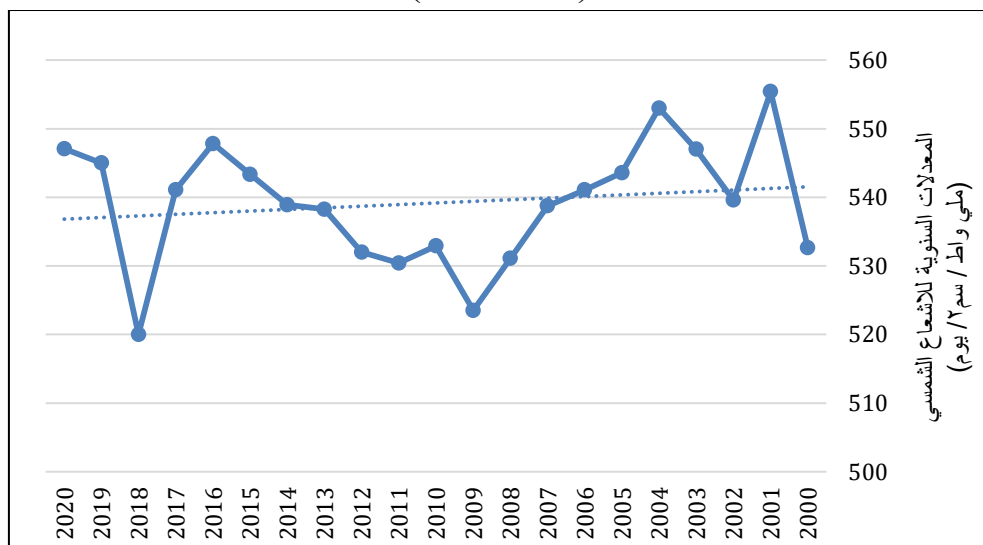


شكل (1) المعدلات الشهرية للإشعاع الشمسي ( ملي واط / سم<sup>2</sup>/ يوم ) في مدينة المقدادية للمدة (2020-2000)



المصدر بالاعتماد على: بيانات جدول (1).

شكل (2) المعدلات السنوية للإشعاع الشمسي ( ملي واط / سم<sup>2</sup>/ يوم ) في مدينة المقدادية للمدة (2020-2000)



المصدر بالاعتماد على: بيانات جدول (1).

## ثانياً: درجة الحرارة

تؤثر درجة الحرارة وتتأثر بشكل كبير بعملية التخطيط والتصميم الحضري للمدن، وعموماً تعاني المدن من ارتفاع درجات الحرارة صيفاً وخاصة الاحياء السكنية بسبب الاشعة الشمسية المباشرة العمودية التي تؤدي الى زيادة امتصاص الطاقة الشمسية<sup>(2)</sup>. وتتأثر درجات الحرارة في المدن تبعاً لتطور النسيج الحضري فيها، اذ ان التغير من النموذج التقليدي الذي يتميز بالأزرقة المترعة الصغيرة



والكثافة العالية للمباني، إلى النسيج المعاصر الذي يتميز بشوارع واسعة ومستقيمة وانخفاض كثافة المباني وقلة التضليل والمساحات الخضراء، أدى إلى تغير معلم المناخ المحلي الحضري للمدن حيث تزداد درجة حرارة الهواء ومتوسط درجة الحرارة المشعة بشكل عام<sup>(3)</sup>. إن التغير الذي حدث في استعمالات ارض المدينة التي تتسم بتناقض المساحات الخضراء وتزايد مساحات الاسمنت مما يزيد من معامل الامتصاص للطاقة الشمسية مما يؤدي لارتفاع الحرارة، كما ان سطوح المدينة لها قدرة كبيرة على التوصيل الحراري وسعتها الحرارية الكبيرة وبذلك فهي تخزن الحرارة اثناء النهار<sup>(4)</sup>.

#### أ. درجة الحرارة الصغرى:

يلاحظ من الشكل (3) اللدان يمثلان معدل أدنى درجة حرارة ساعية مسجلة على ارتفاع (2 متر) فوق سطح الأرض اذ تباينت هذه القيم بين شهر وآخر، فكما هو معروف ان شهر كانون الثاني سجل أدنى معدل اذ بلغت (1.8 - م) بينما سجل اعلى درجة حرارة في أشهر الصيف تموز وآب (25.3 م) و(25.5 م) على التوالي، ويعود هذا التباين الى التباين في كمية الاشعاع الشمسي واختلاف ميل زاوية الاشعة وتغير عدد ساعات سطوع الشمس الفعلية والنظرية بين فصلي الصيف والشتاء الامر الذي انعكس تأثيره على درجات الحرارة.

ويلاحظ من الشكل (4) تغيرات واضحة في المعدلات السنوية لدرجات الحرارة الصغرى في منطقة الدراسة وهي بشكل عام تتجه نحو التزايد اذ بلغت اقل معدل نحو (10.2 م) عام (2005)، بينما سجلت اعلى معدل بلغ (13.2 م) عام (2018) أي بفارق (3 م) بين اعلى واقل معدل سنوي وقد تعود هذه التباينات الى التغيرات المناخية الناتجة عن الاحتباس الحراري الذي يشهده العالم.

جدول (2) المعدلات الشهرية والسنوية لدرجات الحرارة الصغرى (م) في مدينة المقدادية

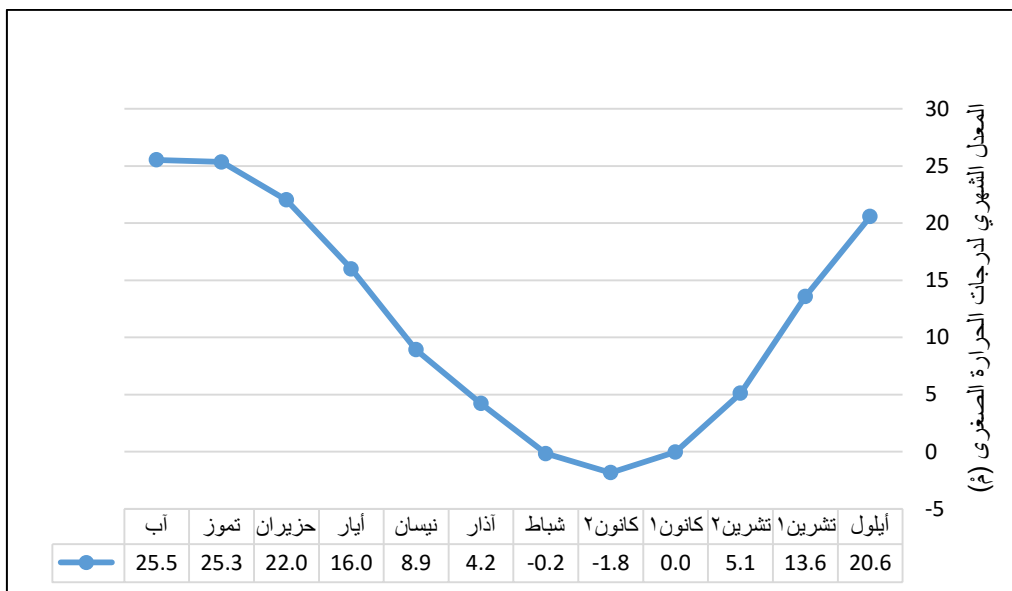
للمدة (2000 - 2020).

| المعدل السنوي | أب   | تموز | حزيران | أيار | نيسان | آذار | شباط | كانون 2 | كانون 1 | كانون 2 | تشرين 1 | تشرين 2 | أيلول         | السنة |
|---------------|------|------|--------|------|-------|------|------|---------|---------|---------|---------|---------|---------------|-------|
| 11.1          | 22.4 | 26.2 | 22.4   | 15.2 | 9.2   | 2.2  | -1.1 | -3.4    | -0.4    | 6.0     | 12.7    | 21.1    |               | 2000  |
| 11.4          | 25.2 | 24.0 | 20.9   | 15.1 | 10.9  | 7.4  | 1.7  | -0.9    | -2.2    | 1.4     | 12.9    | 20.8    |               | 2001  |
| 11.4          | 24.4 | 24.4 | 19.9   | 14.4 | 9.6   | 3.2  | 1.6  | -1.0    | -1.2    | 6.8     | 13.5    | 21.6    |               | 2002  |
| 11.0          | 24.8 | 25.7 | 22.0   | 14.8 | 9.1   | 0.3  | 2.1  | 0.4     | 0.3     | 4.7     | 8.7     | 18.7    |               | 2003  |
| 10.4          | 24.6 | 25.0 | 20.6   | 16.6 | 4.3   | 4.3  | -1.7 | 0.8     | -4.0    | 1.4     | 14.9    | 18.7    |               | 2004  |
| 10.2          | 25.0 | 26.0 | 20.8   | 12.4 | 7.2   | 2.2  | -2.1 | -1.0    | -2.0    | 4.4     | 9.7     | 20.2    |               | 2005  |
| 11.5          | 26.7 | 25.2 | 22.4   | 17.4 | 9.7   | 5.8  | -0.3 | -3.0    | -3.5    | 3.2     | 15.0    | 19.0    |               | 2006  |
| 11.4          | 25.8 | 24.7 | 23.0   | 14.4 | 9.0   | 5.1  | 1.6  | -3.6    | -1.5    | 3.4     | 16.0    | 19.3    |               | 2007  |
| 11.5          | 26.2 | 23.6 | 22.5   | 15.3 | 10.0  | 5.0  | -2.5 | -4.4    | -1.2    | 8.5     | 13.4    | 21.1    |               | 2008  |
| 11.6          | 25.4 | 25.1 | 21.6   | 16.0 | 8.6   | 4.1  | 2.8  | -5.0    | 4.2     | 4.4     | 16.1    | 15.7    |               | 2009  |
| 13.1          | 27.6 | 26.0 | 24.7   | 15.4 | 9.7   | 5.3  | -1.2 | -2.4    | 3.6     | 8.5     | 16.2    | 23.7    |               | 2010  |
| 10.9          | 25.2 | 25.6 | 23.3   | 15.0 | 7.4   | 2.9  | -1.6 | -0.1    | 0.1     | 0.8     | 10.9    | 21.3    |               | 2011  |
| 11.7          | 25.8 | 25.3 | 21.5   | 19.1 | 12.3  | 0.3  | -2.8 | -5.0    | 3.1     | 6.0     | 13.7    | 20.9    |               | 2012  |
| 10.9          | 23.2 | 23.8 | 20.0   | 16.4 | 10.0  | 2.6  | 1.7  | -2.9    | -2.2    | 8.7     | 12.1    | 17.5    |               | 2013  |
| 11.4          | 25.2 | 26.3 | 20.4   | 18.2 | 4.3   | 5.2  | -2.3 | 0.2     | 1.9     | 5.1     | 11.3    | 21.5    |               | 2014  |
| 12.7          | 27.1 | 25.8 | 24.6   | 17.8 | 10.1  | 4.2  | 0.9  | -1.5    | -1.3    | 6.8     | 14.9    | 23.1    |               | 2015  |
| 11.1          | 27.4 | 25.2 | 20.7   | 17.3 | 7.3   | 5.6  | 2.1  | -4.5    | -1.8    | -0.4    | 17.0    | 17.1    |               | 2016  |
| 12.3          | 27.1 | 26.7 | 20.9   | 18.3 | 7.9   | 6.4  | -4.3 | -0.6    | 1.6     | 6.3     | 14.5    | 22.6    |               | 2017  |
| 13.2          | 26.2 | 25.5 | 23.7   | 15.5 | 12.0  | 8.1  | 2.4  | 0.0     | 3.5     | 8.9     | 11.1    | 22.4    |               | 2018  |
| 12.3          | 25.9 | 24.8 | 23.2   | 14.4 | 9.0   | 1.6  | 2.3  | -1.2    | 3.9     | 6.0     | 14.6    | 23.2    |               | 2019  |
| 12.5          | 24.9 | 27.4 | 23.4   | 16.7 | 10.0  | 7.0  | -2.7 | 0.3     | -1.7    | 6.4     | 15.6    | 22.8    |               | 2020  |
| 11.6          | 25.5 | 25.3 | 22.0   | 16.0 | 8.9   | 4.2  | -0.2 | -1.8    | 0.0     | 5.1     | 13.6    | 20.6    | المعدل الشهري |       |

المصدر بالاعتماد على: بيانات وكالة ناسا من الموقع: <http://geoturn.blogspot.com/2020/07/nasa.html>

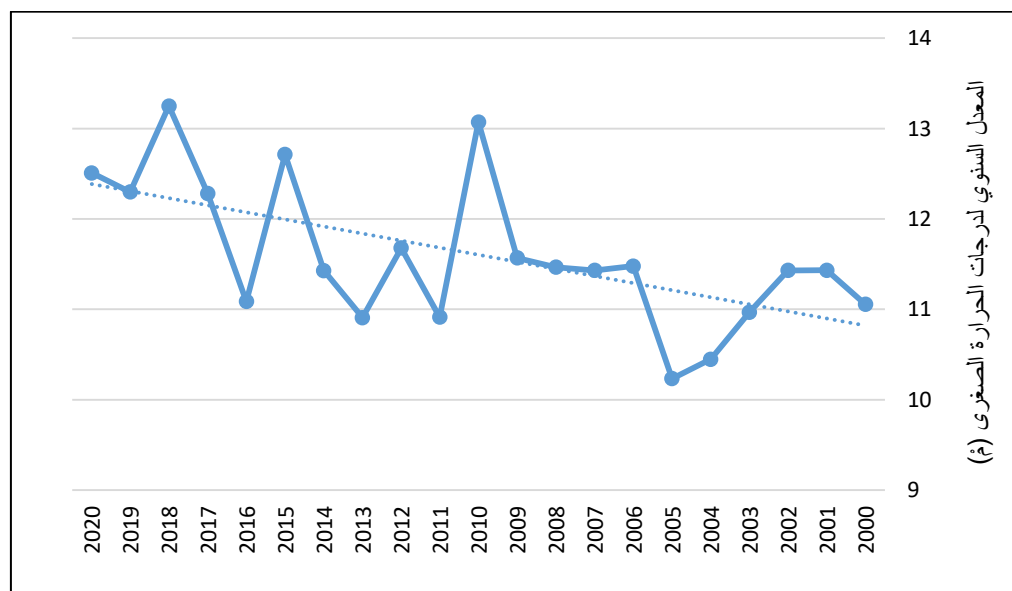


شكل (3) المعدلات الشهرية لدرجات الحرارة الصغرى (°م) في مدينة المقدادية للمدة (2000-2020)



المصدر بالاعتماد على: بيانات جدول (2).

شكل (4) المعدلات السنوية لدرجات الحرارة الصغرى (°م) في مدينة المقدادية للمدة (2000-2020)



المصدر بالاعتماد على: بيانات جدول (2).

**ب. درجة الحرارة العظمى:**

تمثل أعلى درجة حرارة الهواء بالساعة على ارتفاع (2 متر) فوق مستوى سطح الأرض، ويتبين من الشكل (5) تباين في المعدلات الشهرية لدرجات الحرارة العظمى في منطقة الدراسة اذ بلغت اعلاها في شهر تموز بواقع (49.6 °م) الذي يعد احر شهور السنة، في حين سجلت ادنها في شهر كانون الثاني اذ بلغت نحو (21.2 °م)، ويعود هذا التناقض في



درجات الحرارة خلال شهر الشتاء الى قلة الوارد من الاشعاع الشمسي بسبب التغيم وفقدان الطاقة من خلال الاشعاع الأرضي فضلا عن وقوع العراق عموما ومن ضمنه منطقة الدراسة تحت تأثير المرتفع السيبيري وما يرافقه من كتل هوائية باردة<sup>(5)</sup>.

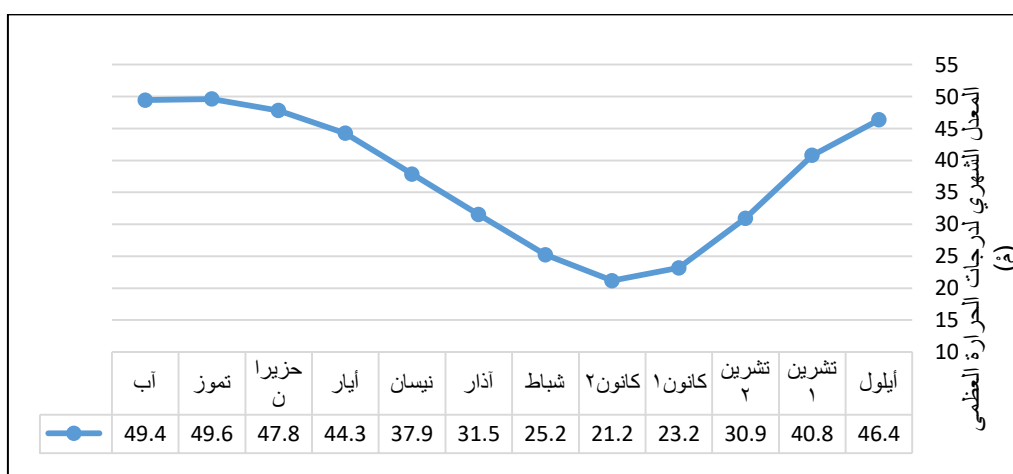
ويتبين من الشكل (6) تباينات في المعدلات السنوية لدرجات الحرارة العظمى في منطقة الدراسة اذ يلاحظ اتجاهها عاما نحو التزايد على الرغم من التباين بين سنة وأخرى، اذ بلغ أدنى معدل في العام (2019) بمقدار (36.5 م)، بينما بلغ أعلى عام (2010) بمعدل قدره (39.1 م).

**جدول (3) المعدلات الشهرية والسنوية للحرارة العظمى (م) في مدينة المقدادية للمدة (2000 - 2020)**

| المعدل السنوي | آب   | تموز | حزيران | أيلار | نيسان | آذار | شباط | كانون 2 | كانون 1 | تشرين 2 | تشرين 1 | أيلول | السنة         |
|---------------|------|------|--------|-------|-------|------|------|---------|---------|---------|---------|-------|---------------|
| 36.8          | 50.7 | 51.9 | 46.9   | 42.9  | 39.1  | 31.5 | 24.7 | 21.5    | 22.1    | 28.5    | 38.6    | 42.8  | 2000          |
| 37.7          | 51.1 | 50.1 | 47.1   | 43.4  | 36.8  | 34.1 | 27.0 | 20.5    | 23.2    | 34.4    | 39.9    | 45.3  | 2001          |
| 37.0          | 48.5 | 49.6 | 48.5   | 43.9  | 34.0  | 31.9 | 24.3 | 20.3    | 24.3    | 31.0    | 42.7    | 45.3  | 2002          |
| 37.3          | 52.1 | 47.2 | 47.3   | 43.4  | 39.3  | 31.2 | 23.8 | 22.6    | 22.0    | 31.9    | 40.3    | 46.0  | 2003          |
| 36.7          | 46.1 | 50.0 | 45.8   | 42.5  | 36.1  | 33.6 | 25.9 | 19.3    | 19.5    | 30.9    | 42.2    | 48.1  | 2004          |
| 37.3          | 48.0 | 49.2 | 47.8   | 42.3  | 40.2  | 30.4 | 24.8 | 20.9    | 28.6    | 27.7    | 41.6    | 46.0  | 2005          |
| 37.0          | 49.7 | 47.0 | 47.3   | 45.6  | 37.3  | 30.0 | 26.0 | 20.8    | 20.4    | 31.2    | 41.3    | 46.9  | 2006          |
| 36.9          | 49.5 | 49.8 | 47.2   | 45.4  | 34.6  | 27.6 | 23.2 | 20.6    | 22.7    | 33.3    | 40.7    | 47.8  | 2007          |
| 37.7          | 49.2 | 49.8 | 48.3   | 43.9  | 42.2  | 37.1 | 24.2 | 19.5    | 22.7    | 26.4    | 40.4    | 49.1  | 2008          |
| 36.8          | 48.8 | 46.9 | 49.0   | 45.0  | 37.8  | 31.2 | 24.2 | 21.7    | 23.1    | 30.0    | 39.8    | 43.9  | 2009          |
| 39.1          | 49.7 | 51.2 | 50.1   | 44.5  | 37.3  | 35.3 | 28.5 | 24.7    | 27.6    | 31.9    | 40.6    | 47.3  | 2010          |
| 37.2          | 51.2 | 50.6 | 48.3   | 46.9  | 37.2  | 32.2 | 27.0 | 20.3    | 21.6    | 28.0    | 38.7    | 44.8  | 2011          |
| 37.3          | 47.7 | 50.7 | 48.9   | 44.3  | 39.6  | 29.0 | 23.6 | 21.1    | 21.2    | 34.6    | 42.1    | 44.4  | 2012          |
| 36.9          | 48.2 | 47.4 | 46.9   | 43.2  | 37.0  | 33.1 | 24.7 | 22.4    | 23.3    | 30.5    | 39.3    | 47.2  | 2013          |
| 37.7          | 49.9 | 48.4 | 48.0   | 43.9  | 40.6  | 31.5 | 26.7 | 21.3    | 26.0    | 28.7    | 41.3    | 46.7  | 2014          |
| 37.6          | 50.3 | 50.8 | 47.9   | 45.0  | 41.8  | 29.5 | 25.0 | 22.1    | 21.7    | 27.6    | 43.3    | 46.4  | 2015          |
| 37.6          | 50.3 | 51.8 | 48.2   | 43.8  | 40.2  | 29.8 | 27.3 | 19.9    | 21.4    | 33.4    | 38.9    | 46.5  | 2016          |
| 37.9          | 51.3 | 50.5 | 48.9   | 44.5  | 38.5  | 28.7 | 25.4 | 19.9    | 26.3    | 34.1    | 38.1    | 48.2  | 2017          |
| 37.6          | 47.4 | 49.2 | 45.9   | 43.0  | 35.7  | 37.2 | 26.9 | 23.0    | 22.3    | 31.5    | 42.8    | 46.9  | 2018          |
| 36.5          | 49.8 | 47.3 | 48.5   | 45.7  | 32.9  | 27.1 | 21.9 | 20.6    | 23.5    | 31.0    | 43.4    | 46.3  | 2019          |
| 37.8          | 48.5 | 52.6 | 47.1   | 46.3  | 36.7  | 30.0 | 25.0 | 21.4    | 23.3    | 33.4    | 41.2    | 47.9  | 2020          |
| 37.3          | 49.4 | 49.6 | 47.8   | 44.3  | 37.9  | 31.5 | 25.2 | 21.2    | 23.2    | 30.9    | 40.8    | 46.4  | المعدل الشهري |

المصدر بالاعتماد على: بيانات وكالة ناسا من الموقع: <http://geoturn.blogspot.com/2020/07/nasa.html>

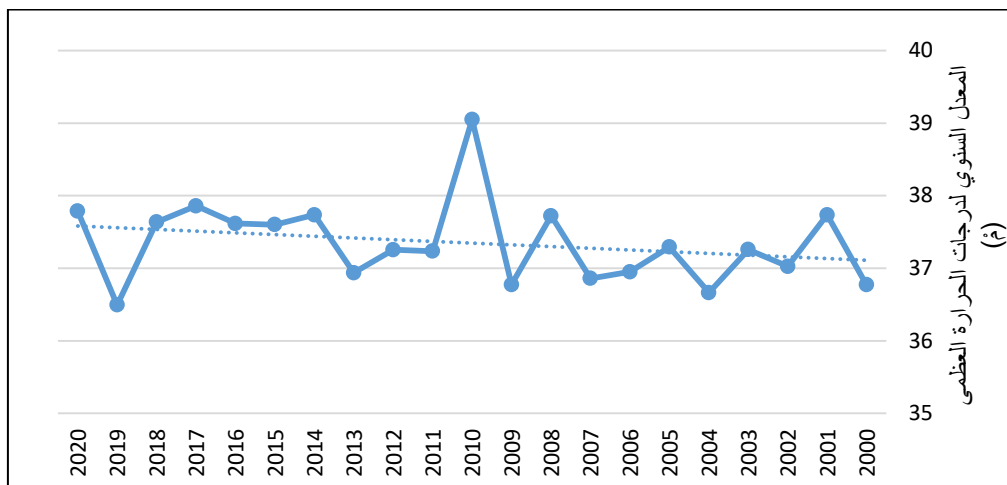
**شكل (5) المعدلات الشهرية لدرجات الحرارة العظمى (م) في مدينة المقدادية للمدة (2000-2020)**



المصدر بالاعتماد على: بيانات جدول (3).



شكل (6) المعدلات السنوية لدرجات الحرارة العظمى (م°) في مدينة المقدادية للمدة (2000-2020)



المصدر بالاعتماد على: بيانات جدول (3).

#### ج. معدل درجة الحرارة:

يتماشى سير معدلات درجات الحرارة مع ما تسجل درجات الحرارة العظمى والصغرى في منطقة الدراسة، يظهر من الشكل (7) تبايناً شهرياً فيها، اذ تبلغ اعلاها في شهري تموز واب بنحو (37.3 م°) و(37.2 م°) على التوالي وهي أكثر أشهر السنة حرارة وذلك لزيادة الطاقة الحرارية المكتسبة من الاشعاع الشمسي وسيطرة أنظمة الضغط المنخفض كمنخفض الهند الموسمي والسوداني والمندمج والمرتفع شب المداري<sup>(6)</sup>، في حين تسجل اقلها في شهر كانون الثاني بنحو (9.7 م°).

ويوضح الشكل (8) اتجاه السير السنوي لمتوسط درجات الحرارة نحو الارتفاع، اذ بلغ اقل معدل حراري نحو (22.9 م°) عام (2013) واعلى معدل حراري بلغ (25.4 م°) عام (2010)، وقد تعود الزيادة السنوية لدرجات الحرارة في سطح مدينة المقدادية لعوامل بشرية كزيادة عدد السكان واكتظاظ في استعمالات الأرض الذي يؤثر في خصائص المناخ المحلي للمدينة مما يجعل منها جزيرة حرارية، فضلاً عن الزيادة الحاصلة في درجات الحرارة نتيجة للتغيرات المناخية.

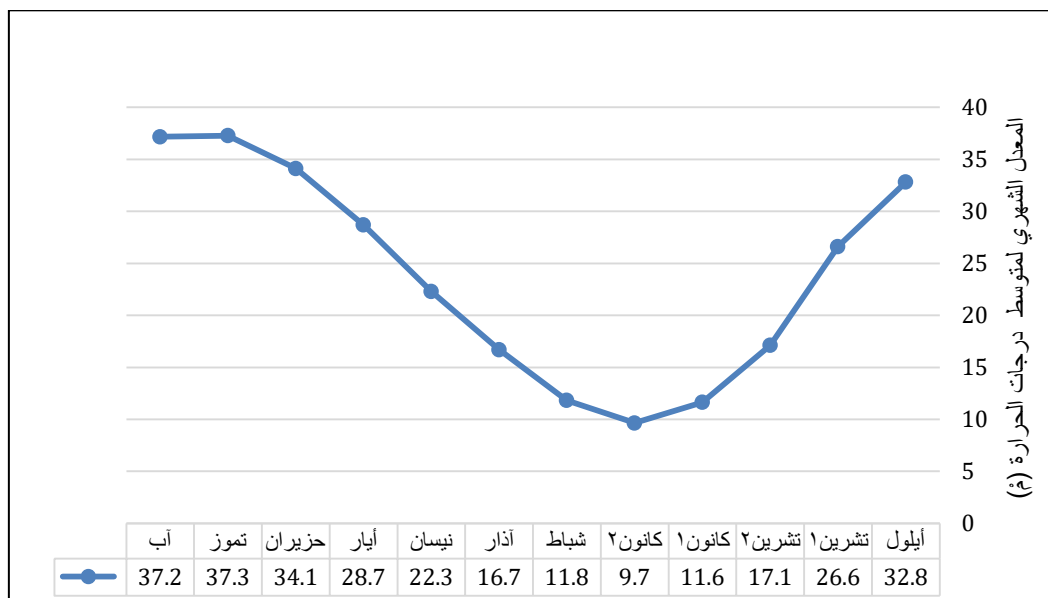


**جدول (4) المعدلات الشهرية والسنوية لمعدلات درجات الحرارة (°) في مدينة المقدادية  
للمرة (2000 - 2020)**

| المعدل السنوي | أب   | تموز | حزيران | أيار | نيسان | أذار | شباط | كانون 2 | كانون 1 | تشرين 2 | تشرين 1 | أيلول | السنة         |
|---------------|------|------|--------|------|-------|------|------|---------|---------|---------|---------|-------|---------------|
| 23.9          | 37.9 | 39.4 | 34.2   | 30.0 | 25.1  | 15.7 | 11.1 | 8.7     | 11.4    | 17.1    | 24.4    | 31.8  | 2000          |
| 24.0          | 37.8 | 36.7 | 33.3   | 27.7 | 22.5  | 18.6 | 11.5 | 10.4    | 13.1    | 16.6    | 26.6    | 32.9  | 2001          |
| 23.5          | 35.6 | 37.3 | 33.2   | 27.5 | 20.9  | 16.9 | 12.5 | 9.0     | 10.1    | 18.2    | 28.3    | 32.6  | 2002          |
| 23.5          | 37.2 | 35.8 | 34.7   | 29.4 | 22.8  | 15.2 | 11.1 | 10.6    | 10.6    | 16.0    | 27.1    | 31.1  | 2003          |
| 23.4          | 35.3 | 37.4 | 33.3   | 27.4 | 21.1  | 18.1 | 11.1 | 10.8    | 9.0     | 16.6    | 28.2    | 33.0  | 2004          |
| 23.1          | 36.4 | 36.7 | 32.2   | 27.3 | 22.1  | 15.0 | 10.6 | 9.4     | 14.3    | 16.2    | 25.4    | 31.2  | 2005          |
| 23.4          | 38.2 | 36.2 | 34.9   | 28.8 | 22.1  | 17.0 | 11.9 | 9.3     | 8.8     | 15.0    | 26.8    | 31.9  | 2006          |
| 23.6          | 37.1 | 36.7 | 33.9   | 30.2 | 20.2  | 15.4 | 11.9 | 8.1     | 11.2    | 17.9    | 27.9    | 33.0  | 2007          |
| 23.7          | 37.8 | 36.6 | 34.3   | 28.4 | 24.4  | 19.5 | 10.9 | 6.1     | 10.9    | 16.7    | 25.6    | 33.3  | 2008          |
| 23.3          | 35.9 | 35.7 | 34.6   | 28.4 | 20.8  | 15.9 | 13.3 | 8.9     | 13.2    | 16.2    | 26.4    | 30.7  | 2009          |
| 25.4          | 38.9 | 38.2 | 35.6   | 29.0 | 23.1  | 18.4 | 13.4 | 12.6    | 13.9    | 20.0    | 27.7    | 34.2  | 2010          |
| 23.1          | 36.7 | 37.8 | 34.4   | 28.4 | 22.0  | 15.8 | 10.9 | 9.5     | 10.6    | 14.2    | 24.5    | 31.9  | 2011          |
| 24.1          | 36.8 | 38.5 | 35.5   | 30.7 | 23.9  | 13.7 | 10.4 | 9.3     | 11.7    | 18.7    | 27.3    | 32.6  | 2012          |
| 22.9          | 35.4 | 35.8 | 32.8   | 26.7 | 22.8  | 16.6 | 12.9 | 9.6     | 9.8     | 17.9    | 23.6    | 31.7  | 2013          |
| 24.0          | 37.3 | 36.8 | 34.2   | 29.6 | 23.4  | 17.7 | 11.8 | 10.7    | 13.5    | 16.0    | 25.3    | 32.4  | 2014          |
| 24.4          | 38.3 | 38.4 | 34.6   | 30.4 | 22.4  | 16.7 | 12.4 | 10.2    | 10.5    | 16.7    | 27.7    | 35.0  | 2015          |
| 23.9          | 38.9 | 37.6 | 33.8   | 28.0 | 22.8  | 16.9 | 13.5 | 9.3     | 10.2    | 17.0    | 27.1    | 32.0  | 2016          |
| 24.4          | 39.1 | 39.2 | 34.6   | 29.3 | 22.2  | 16.5 | 9.3  | 9.3     | 14.0    | 18.4    | 26.1    | 34.9  | 2017          |
| 24.5          | 36.4 | 36.7 | 33.6   | 27.7 | 22.6  | 19.6 | 14.1 | 10.9    | 12.8    | 17.2    | 27.9    | 34.2  | 2018          |
| 23.7          | 37.8 | 35.8 | 35.0   | 28.4 | 19.3  | 14.3 | 11.6 | 9.9     | 12.8    | 17.8    | 28.0    | 33.5  | 2019          |
| 24.6          | 36.0 | 39.6 | 34.3   | 29.4 | 22.1  | 17.3 | 11.8 | 10.2    | 12.1    | 19.2    | 27.3    | 35.5  | 2020          |
| 23.8          | 37.2 | 37.3 | 34.1   | 28.7 | 22.3  | 16.7 | 11.8 | 9.7     | 11.6    | 17.1    | 26.6    | 32.8  | المعدل الشهري |

المصدر بالاعتماد على: بيانات وكالة ناسا من الموقع: <http://geoturn.blogspot.com/2020/07/nasa.html>

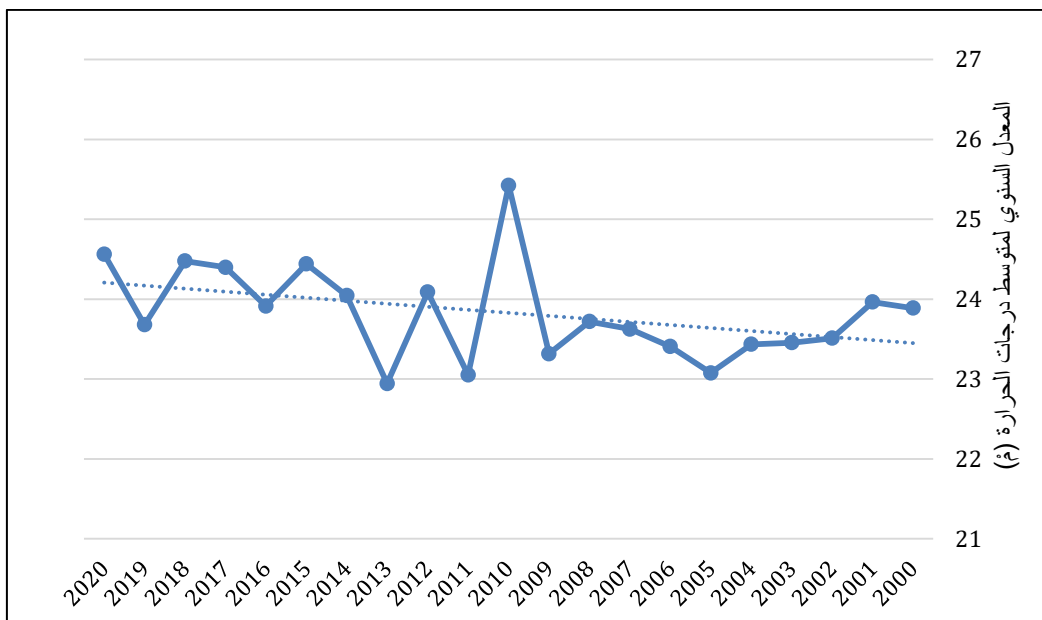
**شكل (7) المعدلات الشهرية لمتوسط درجات الحرارة (°) في مدينة المقدادية للمرة (2000-2020)**



المصدر بالاعتماد على: بيانات جدول (4).



شكل (8) المعدلات السنوية لمتوسط درجات الحرارة (°) في مدينة المقدادية للمدة (2000-2020)



المصدر بالاعتماد على: بيانات جدول (4).

### ثالثاً: الرياح

تتأثر الرياح في المدينة بدرجة حرارة السطح فيها، اذ ان الأرض الحضرية تكتسب من الحرارة أكثر مما تكتسبه مناطق الظاهر، مما يؤدي الى سخونة الهواء الملائم لسطح المدينة وارتفاعه على شكل تيارات ويقابل ذلك اندفاع هواء بارد رطب من الظاهر الإقليمي ويحل محل الهواء الصاعد يطلق عليه نسيم المدينة، وتؤثر خطط شوارع المدينة على طبيعة انسابية الهواء نحو مناطق النشاط الحراري.<sup>(7)</sup>

#### أ. سرعة الرياح:

يلاحظ من الشكل (9) ان التباينات الشهرية في معدل سرعة الرياح اذ سجلت اعلاها في شهر تموز الواقع (4.4 م / ثا)، وبلغت ادنها في شهر تشرين الثاني بنحو (2.8 م / ثا).<sup>(8)</sup> ويعود تزايد السرع في أشهر الصيف لوجود منطقة ضغط عالي فوق الأرضي التركية مقابلها منطقة ضغط واطئ فوق منطقة الخليج العربي مما يجعل العراق ممراً مننظم لهذه الرياح. ويتبين من الشكل (10) تبايناً سنوياً طفيفاً نحو تناقص سرع الرياح في منطقة الدراسة، اذ بلغت اعلاها في سنة (2001) بنحو (3.5 م / ثا)، وبلغت ادنها في سنة (2009) بنحو (3.3 م / ثا).



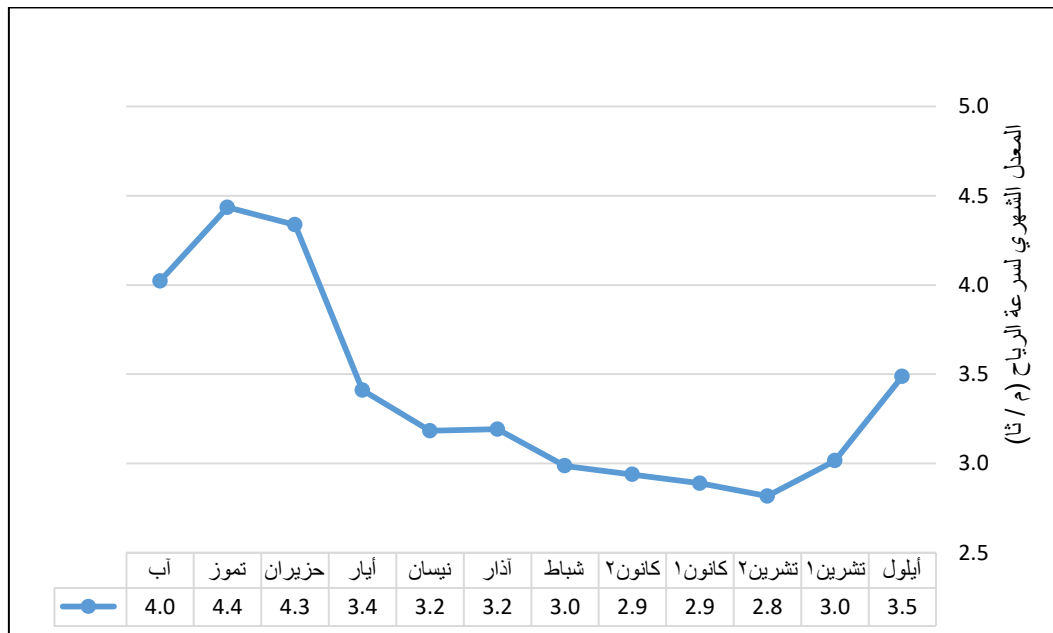
## جدول (5) المعدلات الشهرية والسنوية لسرعة الرياح (م / ثا) في مدينة المقدادية

للمدة (2000 - 2020)

| المعدل السنوي | أب  | تموز | حزيران | أيار | نيسان | أذار | شباط | كانون 2 | كانون 1 | تشرين 2 | تشرين 1 | أيلول | السنة         |
|---------------|-----|------|--------|------|-------|------|------|---------|---------|---------|---------|-------|---------------|
| 3.46          | 4.1 | 4.0  | 4.5    | 3.7  | 3.5   | 3.4  | 3.3  | 3.1     | 2.9     | 2.6     | 2.7     | 3.7   | 2000          |
| 3.50          | 4.1 | 4.6  | 5.0    | 4.1  | 3.2   | 2.9  | 3.1  | 2.6     | 3.0     | 3.0     | 3.0     | 3.4   | 2001          |
| 3.38          | 4.3 | 4.1  | 4.1    | 3.3  | 3.3   | 3.2  | 3.1  | 3.1     | 2.8     | 2.7     | 2.9     | 3.9   | 2002          |
| 3.49          | 4.2 | 4.7  | 4.1    | 3.3  | 3.4   | 3.5  | 3.0  | 3.0     | 2.9     | 3.1     | 3.1     | 3.6   | 2003          |
| 3.39          | 4.3 | 4.3  | 4.5    | 3.6  | 3.2   | 3.2  | 3.0  | 2.6     | 2.7     | 3.0     | 2.9     | 3.5   | 2004          |
| 3.39          | 3.8 | 4.3  | 4.3    | 3.2  | 3.2   | 3.2  | 2.9  | 3.1     | 2.9     | 2.9     | 3.3     | 3.7   | 2005          |
| 3.48          | 4.2 | 5.0  | 4.5    | 3.3  | 3.2   | 3.2  | 3.1  | 2.8     | 2.9     | 3.1     | 3.1     | 3.6   | 2006          |
| 3.40          | 3.8 | 4.2  | 4.3    | 3.1  | 3.4   | 3.0  | 2.9  | 3.1     | 2.8     | 3.0     | 3.1     | 4.0   | 2007          |
| 3.33          | 3.7 | 4.1  | 4.6    | 3.4  | 3.2   | 3.0  | 3.2  | 2.5     | 3.2     | 2.6     | 3.3     | 3.2   | 2008          |
| 3.31          | 4.0 | 4.7  | 3.8    | 3.2  | 3.0   | 3.3  | 3.2  | 3.0     | 2.7     | 2.5     | 3.2     | 3.4   | 2009          |
| 3.37          | 3.4 | 4.4  | 4.1    | 3.3  | 2.9   | 3.2  | 3.0  | 3.6     | 3.1     | 2.8     | 3.2     | 3.4   | 2010          |
| 3.48          | 4.2 | 4.2  | 4.5    | 3.5  | 3.4   | 3.5  | 2.9  | 2.8     | 3.2     | 2.8     | 3.2     | 3.7   | 2011          |
| 3.38          | 4.1 | 4.2  | 4.3    | 3.4  | 3.3   | 3.3  | 3.2  | 2.7     | 2.9     | 2.6     | 3.0     | 3.5   | 2012          |
| 3.44          | 3.9 | 4.9  | 4.7    | 3.1  | 3.2   | 3.3  | 2.9  | 3.4     | 3.1     | 2.6     | 3.1     | 3.1   | 2013          |
| 3.37          | 3.9 | 4.6  | 4.5    | 3.5  | 3.2   | 3.2  | 3.0  | 2.6     | 2.7     | 3.2     | 2.8     | 3.4   | 2014          |
| 3.32          | 4.2 | 4.7  | 4.7    | 3.6  | 3.3   | 2.9  | 2.8  | 2.7     | 2.5     | 2.5     | 2.7     | 3.2   | 2015          |
| 3.35          | 3.8 | 4.4  | 4.0    | 3.5  | 2.9   | 3.2  | 2.9  | 3.1     | 2.9     | 3.0     | 3.1     | 3.5   | 2016          |
| 3.42          | 4.1 | 4.5  | 4.1    | 3.5  | 3.3   | 3.1  | 2.9  | 2.9     | 3.1     | 3.1     | 3.1     | 3.4   | 2017          |
| 3.32          | 4.3 | 4.7  | 4.3    | 3.0  | 2.6   | 3.2  | 2.8  | 3.0     | 3.0     | 2.7     | 3.1     | 3.4   | 2018          |
| 3.33          | 4.0 | 4.7  | 4.2    | 3.3  | 3.1   | 3.3  | 2.8  | 3.0     | 2.8     | 2.7     | 2.5     | 3.5   | 2019          |
| 3.36          | 4.3 | 4.1  | 4.1    | 3.8  | 3.3   | 3.2  | 2.9  | 2.9     | 2.7     | 2.9     | 3.0     | 3.3   | 2020          |
| 3.39          | 4.0 | 4.4  | 4.3    | 3.4  | 3.2   | 3.2  | 3.0  | 2.9     | 2.9     | 2.8     | 3.0     | 3.5   | المعدل الشهري |

المصدر بالاعتماد على: بيانات وكالة ناسا من الموقع: <http://geoturn.blogspot.com/2020/07/nasa.html>

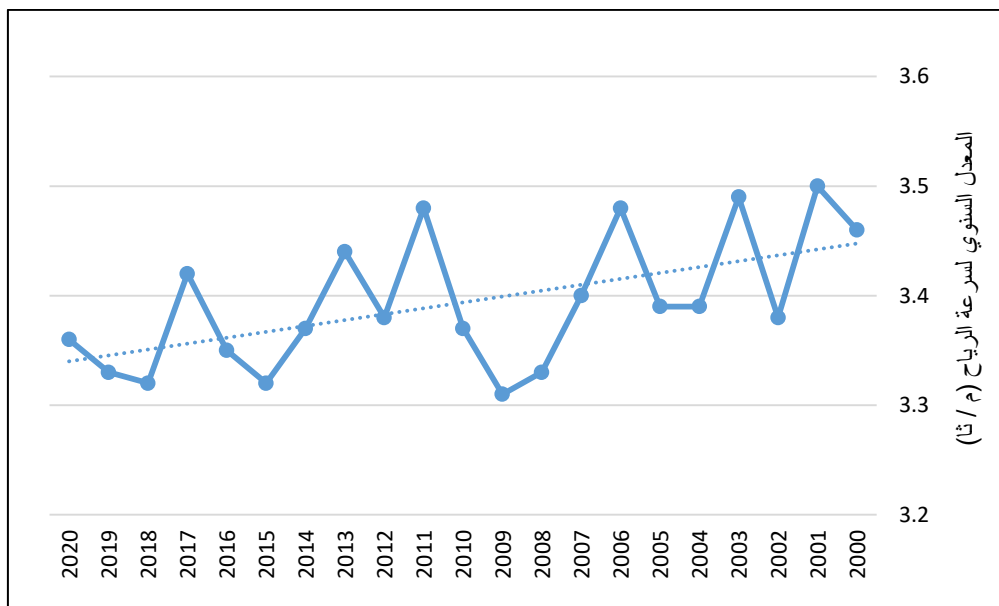
شكل (9) المعدلات الشهرية لسرعة الرياح (م / ثا) في مدينة المقدادية للمدة (2000-2020)



المصدر بالاعتماد على: بيانات جدول (5).



شكل (10) المعدلات السنوية لسرعة الرياح (م / ثا) في مدينة المقدادية للمدة (2000-2020)



المصدر بالاعتماد على: بيانات جدول (5).

**بـ. اتجاه الرياح:**

تتبادر نسب التكرار الشهري لاتجاهات الرياح اذ ان الرياح الشمالية الغربية هي السائدة في المنطقة في جميع أشهر السنة وخاصة في أشهر الصيف (حزيران، تموز، آب، أيلول) اذ يبلغ نسبة تكرارها (100%) وتكون هذه الرياح اقل سيطرة في أشهر الشتاء وخاصة شهري كانون الثاني وشباط اذ تبلغ (42.9%).

ويتضح من الشكل (11) تباين سنوي في نسب تكرار اتجاهات الرياح اذ تسود الرياح الشمالية الغربية بنسبة (71.8%)، بينما تكون اقل الرياح هبوباً هي الرياح الجنوبية الغربية بنسبة تكرار تبلغ (0.8%).

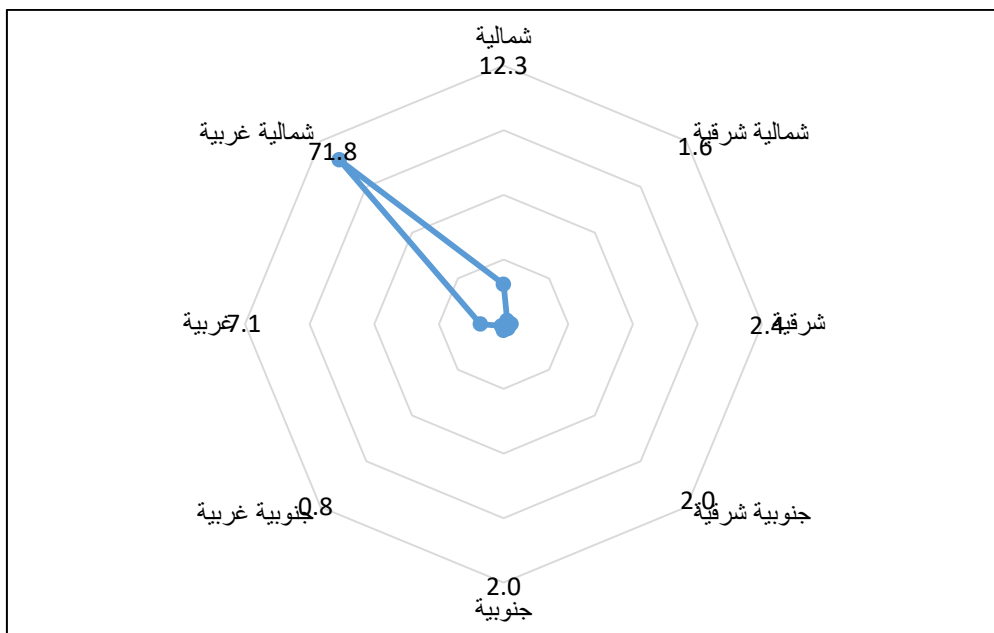
جدول (6) النسب المئوية للتكرار الشهري لاتجاهات الرياح في مدينة المقدادية للمدة (2000 - 2020)

| الشهر   | شمالية | شمالية شرقية | شرقية | جنوبية شرقية | جنوبية | جنوبية غربية | غربية | شمالية غربية |
|---------|--------|--------------|-------|--------------|--------|--------------|-------|--------------|
| أيلول   | 0      | 0            | 0     | 0            | 0      | 0            | 0     | 100          |
| تشرين 1 | 38.1   | 0            | 9.5   | 0            | 0      | 0            | 0     | 52.4         |
| تشرين 2 | 23.8   | 4.8          | 9.5   | 0            | 0      | 0            | 0     | 61.9         |
| كانون 1 | 14.3   | 4.8          | 4.8   | 4.8          | 0      | 0            | 0     | 61.9         |
| كانون 2 | 4.8    | 9.5          | 0     | 9.5          | 4.8    | 0            | 19.0  | 42.9         |
| شباط    | 19.0   | 0            | 4.8   | 4.8          | 0      | 0            | 0     | 42.9         |
| آذار    | 19.0   | 0            | 0     | 4.8          | 0      | 0            | 0     | 28.6         |
| نيسان   | 9.5    | 0            | 0     | 0            | 0      | 0            | 0     | 52.4         |
| أيار    | 19.0   | 0            | 0     | 0            | 0      | 0            | 0     | 71.4         |
| حزيران  | 0      | 0            | 0     | 0            | 0      | 0            | 0     | 76.2         |
| تموز    | 0      | 0            | 0     | 0            | 0      | 0            | 0     | 100          |
| آب      | 0      | 0            | 0     | 0            | 0      | 0            | 0     | 100          |

المصدر بالاعتماد على: بيانات وكالة ناسا من الموقع: <http://geoturn.blogspot.com/2020/07/nasa.html>



شكل (11) نسب التكرار السنوي لاتجاهات الرياح (%) في مدينة المقدادية لمدة (2000-2020)



المصدر بالاعتماد على: بيانات جدول (6).

#### رابعاً: الرطوبة النسبية

تتأثر الرطوبة الجوية وتؤثر في المناطق الحضرية اذ تقل نسب الرطوبة في المدن الصحراوية بسبب ارتفاع معدلات التباين الحراري، كما أن للرطوبة تأثير كبير على المبني اذ ترك اضرار على الهيكل العمراني ومادته وخاصة الوحدات السكنية مما يتطلب استخدام مواد قليلة التأثير بالرطوبة.<sup>(9)</sup>

يتبيّن من الشكل (12) تبايناً شهرياً في معدلات الرطوبة النسبية في منطقة الدراسة اذ بلغت اعلاها في الفصل البارد من السنة وخاصة شهر كانون الثاني بواقع (%) 60.8 لتأثير الكتل الهوائية الباردة الرطبة وانخفاض الحرارة في حين بلغت أشهر الصيف اقل مقدار من الرطوبة النسبية وتحديداً في شهر تموز اذ سجلت نحو (17%) وذلك لارتفاع درجات الحرارة في هذا الشهر ووصول الكتل الهوائية الحارة الجافة.

ويتبّع من الشكل (13) تباين سنوي في نسبة الرطوبة في منطقة الدراسة وهي بشكل عام تتجه نحو التزايد، اذ سجلت اقل معدل سنوي عام (2000) بمقدار (32.4)، وبلغ أعلى معدل عام (2018) بمقدار (41.7).

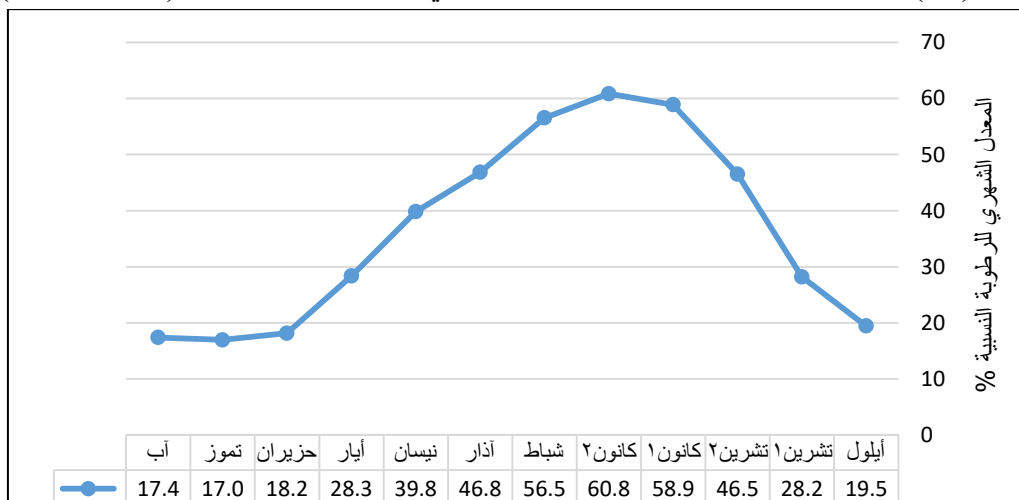


جدول (7) المعدلات الشهرية والسنوية للرطوبة النسبية % في مدينة المقدادية للمدة (2000 - 2020)

| السنوات       | أيلول | تشرين 1 | تشرين 2 | كانون 1 | كانون 2 | يناير | شباط | مارس | نيسان | مايو | حزيران | تموز | آب   | المعدل السنوي |
|---------------|-------|---------|---------|---------|---------|-------|------|------|-------|------|--------|------|------|---------------|
| 2000          | 18.8  | 30.6    | 43.6    | 68.8    | 55.0    | 43.7  | 43.7 | 55.0 | 30.4  | 20.7 | 15.3   | 12.6 | 15.1 | 32.4          |
| 2001          | 19.1  | 24.1    | 37.6    | 60.4    | 65.7    | 61.4  | 55.4 | 43.4 | 27.4  | 16.8 | 16.8   | 17.6 | 16.6 | 37.1          |
| 2002          | 18.7  | 23.3    | 41.3    | 64.8    | 52.3    | 48.1  | 55.4 | 43.4 | 29.8  | 17.8 | 15.8   | 17.9 | 17.9 | 36.8          |
| 2003          | 19.9  | 25.3    | 48.3    | 67.9    | 57.3    | 43.5  | 57.3 | 62.9 | 34.4  | 20.7 | 16.5   | 18.3 | 15.8 | 35.9          |
| 2004          | 14.5  | 20.4    | 55.8    | 58.2    | 64.1    | 46.2  | 46.2 | 69.9 | 38.7  | 30.6 | 17.9   | 14.4 | 18.1 | 37.4          |
| 2005          | 20.5  | 23.0    | 43.1    | 52.6    | 61.4    | 55.6  | 55.6 | 62.9 | 46.8  | 30.4 | 19.8   | 17.7 | 18.4 | 37.7          |
| 2006          | 18.6  | 36.1    | 51.3    | 56.8    | 64.7    | 59.5  | 59.5 | 59.5 | 49.8  | 32.4 | 14.9   | 18.9 | 15.5 | 38.8          |
| 2007          | 17.0  | 21.0    | 33.8    | 51.4    | 62.9    | 50.3  | 50.3 | 63.0 | 46.6  | 33.0 | 18.4   | 17.3 | 18.1 | 36.1          |
| 2008          | 22.9  | 34.8    | 53.2    | 54.3    | 53.1    | 40.9  | 40.9 | 58.5 | 30.7  | 22.2 | 17.4   | 15.6 | 16.7 | 35.0          |
| 2009          | 22.3  | 33.3    | 56.3    | 64.9    | 52.9    | 43.4  | 43.4 | 53.9 | 25.9  | 20.2 | 15.9   | 16.4 | 15.5 | 37.1          |
| 2010          | 19.6  | 28.4    | 26.1    | 46.7    | 57.6    | 45.5  | 45.5 | 58.8 | 27.1  | 17.6 | 16.4   | 16.4 | 14.0 | 32.7          |
| 2011          | 21.5  | 30.5    | 43.3    | 45.6    | 54.2    | 42.5  | 42.5 | 65.6 | 34.3  | 28.3 | 18.6   | 17.1 | 18.1 | 35.0          |
| 2012          | 19.2  | 29.4    | 57.8    | 64.1    | 54.2    | 47.3  | 47.3 | 53.4 | 28.4  | 21.6 | 16.4   | 15.4 | 18.1 | 34.0          |
| 2013          | 20.3  | 24.8    | 59.8    | 57.1    | 65.0    | 47.9  | 47.9 | 65.6 | 42.9  | 36.4 | 19.7   | 17.9 | 18.3 | 39.6          |
| 2014          | 23.4  | 37.0    | 46.6    | 62.3    | 50.4    | 44.6  | 44.6 | 62.5 | 22.9  | 18.3 | 19.5   | 19.0 | 18.0 | 36.6          |
| 2015          | 18.6  | 36.6    | 58.1    | 62.6    | 49.8    | 42.4  | 42.4 | 57.2 | 30.0  | 21.8 | 16.5   | 18.7 | 18.7 | 36.0          |
| 2016          | 21.9  | 23.8    | 27.8    | 58.2    | 60.3    | 49.5  | 49.5 | 61.9 | 42.9  | 31.0 | 19.8   | 17.8 | 16.8 | 36.0          |
| 2017          | 15.5  | 23.8    | 40.5    | 44.8    | 50.3    | 52.3  | 52.3 | 60.1 | 44.6  | 26.0 | 18.5   | 14.1 | 15.6 | 33.8          |
| 2018          | 19.4  | 34.6    | 68.1    | 72.3    | 58.4    | 46.7  | 46.7 | 47.9 | 46.2  | 23.1 | 18.6   | 21.6 | 21.6 | 41.7          |
| 2019          | 19.8  | 32.6    | 35.4    | 63.0    | 64.5    | 59.3  | 52.5 | 66.4 | 34.8  | 21.1 | 19.3   | 18.6 | 18.6 | 40.6          |
| 2020          | 17.1  | 19.2    | 48.7    | 60.9    | 55.6    | 52.1  | 41.5 | 64.6 | 22.1  | 17.7 | 15.0   | 19.5 | 19.5 | 36.2          |
| المعدل الشهري | 19.5  | 28.2    | 46.5    | 58.9    | 56.5    | 46.8  | 46.8 | 60.8 | 39.8  | 28.3 | 18.2   | 17.0 | 17.4 | 36.5          |

المصدر بالأعتماد على: بيانات وكالة ناسا من الموقع: <http://geoturn.blogspot.com/2020/07/nasa.html>

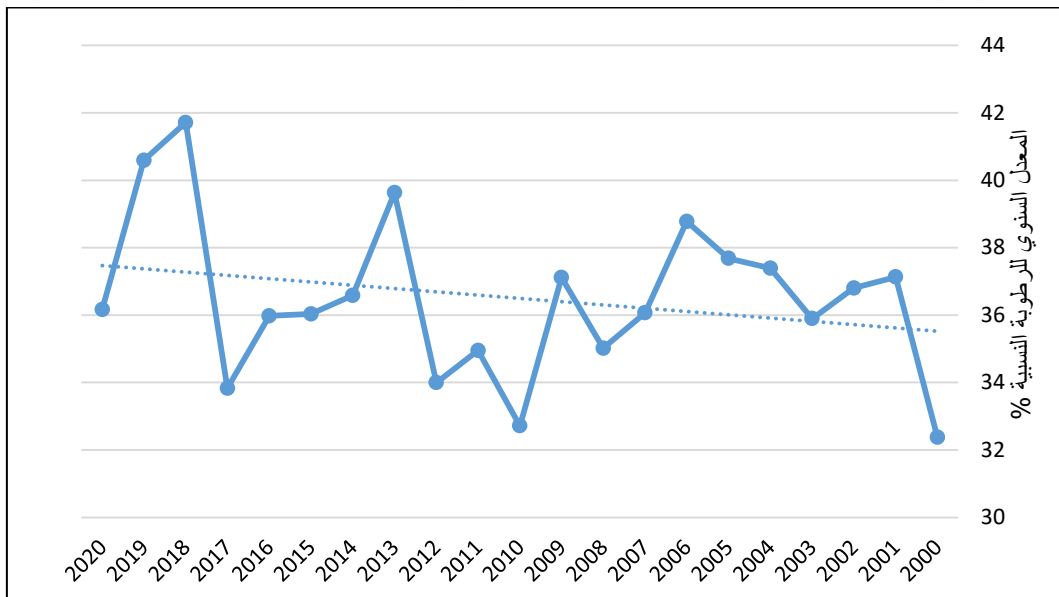
شكل (12) المعدلات الشهرية للرطوبة النسبية % في مدينة المقدادية للمدة (2000-2020)



المصدر بالاعتماد على: بيانات جدول (7)



شكل (13) المعدلات السنوية للرطوبة النسبية % في مدينة المقدادية للمدة (2000-2020)



المصدر بالاعتماد على: بيانات جدول (7)

### خامساً: الامطار

لا تختلف خصائص الامطار كثيراً في المدن عن غيرها، لكون الامطار من العناصر التي لا تتشاء قرب السطح وانما في الأجزاء العليا من طبقة التروبوسفير، اذ يسقط نتيجة انخفاض درجة حرارة الهواء المشبع ببخار الماء في أعلى هذه الطبقة الى ما دون نقطة الندى.<sup>(10)</sup>

تحدث في بعض المدن — التي تمتاز بنشاطها الوظيفي الذي يبيت كمية أكبر من ثاني أوكسيد الكاربون — ظاهرة الامطار الحامضية نتيجة فعاليات المدينة الصناعية والنقل والحرائق وغيرها، وعند زيادة نسبة غاز ثاني أوكسيد الكاربون في الجو يذوب قسم منه في مياه الامطار مكوناً حامضاً الكاربونيك المخفف، لذلك تقتصر الامطار الحامضية خلال الموسم المطري.<sup>(11)</sup>

يلاحظ من الشكل (14) تباين شهري في كمية التساقط المطري في منطقة الدراسة اذ بلغت اعلاها في أشهر الشتاء وبالاخص شهر كانون الثاني اذ سجلت (31.1 ملم) ويعود ذلك الى تأثير تكرار المنخفضات الرطبة ولأن هذا الشهر هو أكثر الأشهر برودة مما يشجع على تكافف الغيوم وسقوط الامطار الغزيرة<sup>(12)</sup>، على العكس من أشهر الصيف اذ ينعدم التساقط في أشهر (حزيران، تموز، آب).

ويتبين من الشكل (15) تبايناً في المجموع السنوي للأمطار المتتساقطة في منطقة الدراسة وهي بشكل عام تتوجه نحو التناقص، بلغ أعلى مجموع سنوي لها في سنة (2005) الواقع (321.7 ملم) بينما سجلت أدنى مجموع سنوي سنة (2017) بحوالي (73.8 ملم).

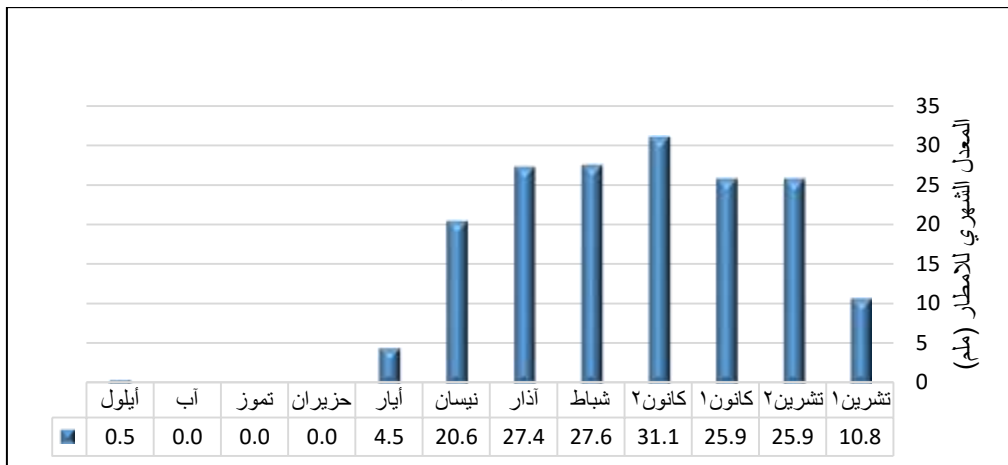


## جدول (8) المعدلات الشهرية والمجموع السنوي للأمطار في مدينة المقدادية للمدة (2000 - 2020)

| المجموع السنوي | أيلول | أب  | تموز | حزيران | أيار | نيسان | آذار  | شباط | كانون 2 | كانون 1 | تشرين 2 | تشرين 1 | السنة         |
|----------------|-------|-----|------|--------|------|-------|-------|------|---------|---------|---------|---------|---------------|
| 131.9          | 0.0   | 0.0 | 0.0  | 0.0    | 10.6 | 15.8  | 0.0   | 10.6 | 58.0    | 26.4    | 10.6    | 10.6    | 2000          |
| 216.2          | 0.0   | 0.0 | 0.0  | 0.0    | 5.3  | 21.1  | 47.5  | 47.5 | 42.2    | 36.9    | 10.6    | 5.3     | 2001          |
| 226.7          | 0.0   | 0.0 | 0.0  | 0.0    | 0.0  | 52.7  | 63.3  | 21.1 | 63.3    | 21.1    | 5.3     | 0.0     | 2002          |
| 200.4          | 0.0   | 0.0 | 0.0  | 0.0    | 5.3  | 10.6  | 5.3   | 26.4 | 36.9    | 52.7    | 58.0    | 5.3     | 2003          |
| 210.9          | 0.0   | 0.0 | 0.0  | 0.0    | 10.6 | 21.1  | 5.3   | 21.1 | 79.1    | 31.6    | 42.2    | 0.0     | 2004          |
| 321.7          | 0.0   | 0.0 | 0.0  | 0.0    | 0.0  | 31.6  | 121.3 | 47.5 | 52.7    | 52.7    | 15.8    | 0.0     | 2005          |
| 274.2          | 0.0   | 0.0 | 0.0  | 0.0    | 10.6 | 58.0  | 10.6  | 89.7 | 26.4    | 26.4    | 15.8    | 36.9    | 2006          |
| 210.9          | 0.0   | 0.0 | 0.0  | 0.0    | 0.0  | 58.0  | 36.9  | 58.0 | 36.9    | 21.1    | 0.0     | 0.0     | 2007          |
| 216.2          | 10.6  | 0.0 | 0.0  | 0.0    | 0.0  | 15.8  | 5.3   | 31.6 | 73.8    | 0.0     | 47.5    | 31.6    | 2008          |
| 142.4          | 0.0   | 0.0 | 0.0  | 0.0    | 0.0  | 31.6  | 15.8  | 21.1 | 10.6    | 5.3     | 21.1    | 36.9    | 2009          |
| 84.4           | 0.0   | 0.0 | 0.0  | 0.0    | 10.6 | 5.3   | 5.3   | 15.8 | 21.1    | 26.4    | 0.0     | 0.0     | 2010          |
| 79.1           | 0.0   | 0.0 | 0.0  | 0.0    | 0.0  | 10.6  | 10.6  | 21.1 | 26.4    | 5.3     | 0.0     | 5.3     | 2011          |
| 152.9          | 0.0   | 0.0 | 0.0  | 0.0    | 0.0  | 5.3   | 5.3   | 5.3  | 5.3     | 52.7    | 68.6    | 10.6    | 2012          |
| 116.0          | 0.0   | 0.0 | 0.0  | 0.0    | 5.3  | 0.0   | 0.0   | 10.6 | 58.0    | 15.8    | 26.4    | 0.0     | 2013          |
| 84.4           | 0.0   | 0.0 | 0.0  | 0.0    | 0.0  | 0.0   | 26.4  | 0.0  | 21.1    | 5.3     | 15.8    | 15.8    | 2014          |
| 168.7          | 0.0   | 0.0 | 0.0  | 0.0    | 5.3  | 0.0   | 21.1  | 10.6 | 5.3     | 26.4    | 47.5    | 52.7    | 2015          |
| 131.8          | 0.0   | 0.0 | 0.0  | 0.0    | 0.0  | 21.1  | 36.9  | 26.4 | 10.6    | 36.9    | 0.0     | 0.0     | 2016          |
| 73.8           | 0.0   | 0.0 | 0.0  | 0.0    | 0.0  | 5.3   | 63.3  | 0.0  | 5.3     | 0.0     | 0.0     | 0.0     | 2017          |
| 316.4          | 0.0   | 0.0 | 0.0  | 0.0    | 42.2 | 58.0  | 5.3   | 94.9 | 0.0     | 26.4    | 79.1    | 10.6    | 2018          |
| 174.0          | 0.0   | 0.0 | 0.0  | 0.0    | 0.0  | 15.8  | 52.7  | 21.1 | 42.2    | 36.9    | 0.0     | 5.3     | 2019          |
| 126.6          | 0.0   | 0.0 | 0.0  | 0.0    | 0.0  | 0.0   | 21.1  | 10.6 | 26.4    | 5.3     | 63.3    | 0.0     | 2020          |
| 174.3          | 0.5   | 0.0 | 0.0  | 0.0    | 4.5  | 20.6  | 27.4  | 27.6 | 31.1    | 25.9    | 25.9    | 10.8    | المعدل الشهري |

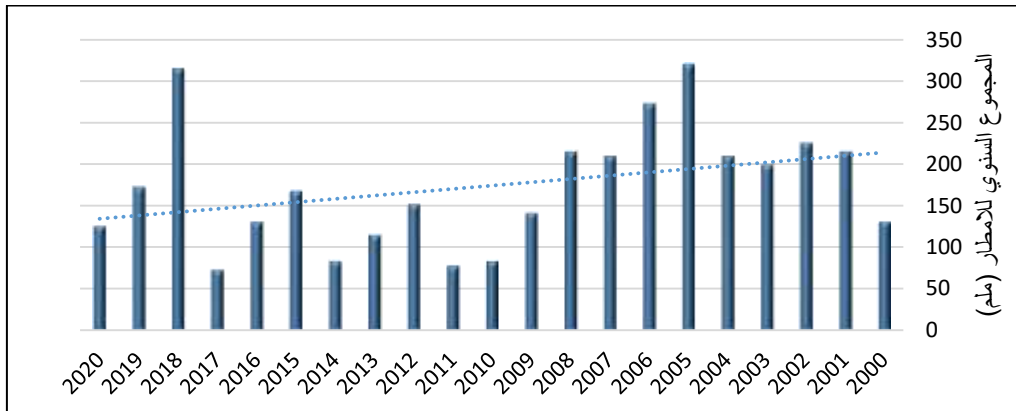
المصدر بالاعتماد على: بيانات وكالة ناسا من الموقع: <http://geoturn.blogspot.com/2020/07/nasa.html>

شكل (14) المعدلات الشهرية للأمطار (ملم) في مدينة المقدادية للمدة (2000-2020)



المصدر بالاعتماد على: بيانات جدول (8)

شكل (15) المجموع السنوي للأمطار (ملم) في مدينة المقدادية للمدة (2000-2020)



المصدر بالاعتماد على: بيانات جدول (8)



### سادساً: التبخر

تزداد قيم التبخر في المدينة وذلك لارتفاع درجات الحرارة فيها وقلة الرطوبة وقلة المساحات الخضراء، إذ ان كمية بخار الماء في الجو مرتبطة ارتباطاً وثيقاً بدرجة الحرارة حيث تلعب دوراً هاماً في تبخير المياه وحركة الهواء المحمّل ببخار الماء.<sup>(13)</sup>

يلاحظ من الشكل (16) تباين شهري في كمية التبخر في منطقة الدراسة اذ بلغت اعلاها في أشهر الصيف وبالأخص شهر تموز اذ سجلت (268.51 ملم) ويعود ذلك الى ارتفاع الحرارة وزيادة سرع الرياح وقلة الرطوبة والامطار في هذا الفصل، وبلغت أدنى القيم في أشهر الشتاء وخاصة شهر كانون الثاني اذ سجلت (59.5 ملم).

ويتضح من الشكل (17) تبايناً طفيفاً في المجموع السنوي للتبخر في منطقة الدراسة وهي بشكل عام تتجه نحو الارتفاع، اذ بلغ أعلى مجموع سنوي لها في سنة (2020) بواقع (1379.6 ملم) بينما سجلت أدنى مجموع سنوي سنة (2013) بحوالي (1220.8 ملم).

**جدول (9) المعدلات الشهرية والمجموع السنوي للتبخر (ملم) في مدينة المقدادية**

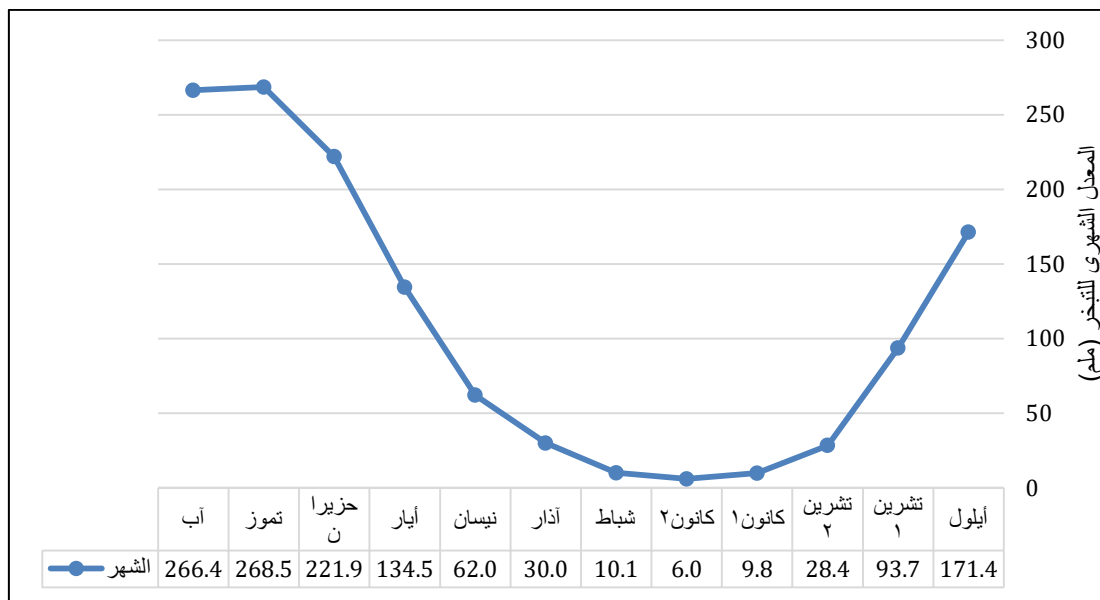
**للمرة (2000 - 2020)**

| المجموع السنوي | آب     | تموز   | حزيران | أيار   | نيسان | آذار  | شباط  | كانون 2 | كانون 1 | تشرين 2 | تشرين 1 | أيلول  | السنة         |
|----------------|--------|--------|--------|--------|-------|-------|-------|---------|---------|---------|---------|--------|---------------|
| 1336.9         | 276.5  | 308.1  | 220.4  | 148.5  | 82.8  | 24.4  | 8.2   | 4.2     | 8.7     | 27.4    | 72.9    | 154.8  | 2000          |
| 1286.0         | 278.9  | 256.4  | 208.1  | 122.0  | 62.8  | 38.8  | 9.1   | 6.9     | 12.7    | 25.8    | 93.0    | 171.5  | 2001          |
| 1268.4         | 240.1  | 271.1  | 208.1  | 122.4  | 53.3  | 32.0  | 12.1  | 5.2     | 7.0     | 34.6    | 111.8   | 170.8  | 2002          |
| 1287.5         | 269.6  | 244.9  | 234.3  | 146.9  | 67.2  | 24.2  | 8.9   | 8.0     | 7.8     | 24.5    | 100.3   | 150.8  | 2003          |
| 1267.3         | 234.1  | 271.7  | 210.2  | 121.2  | 55.0  | 38.3  | 8.9   | 8.5     | 5.2     | 27.3    | 111.0   | 176.1  | 2004          |
| 1238.9         | 258.2  | 264.1  | 198.0  | 124.0  | 65.1  | 25.0  | 8.7   | 6.3     | 18.5    | 26.9    | 88.1    | 156.1  | 2005          |
| 1303.1         | 285.8  | 250.1  | 236.9  | 138.0  | 61.6  | 32.2  | 10.6  | 5.5     | 4.8     | 20.8    | 96.8    | 159.9  | 2006          |
| 1308.3         | 266.0  | 259.1  | 218.8  | 155.4  | 48.0  | 24.4  | 10.4  | 3.8     | 8.9     | 32.3    | 106.7   | 174.6  | 2007          |
| 1320.4         | 278.4  | 257.0  | 225.2  | 131.0  | 78.4  | 44.6  | 8.0   | 1.7     | 8.0     | 26.4    | 84.3    | 177.4  | 2008          |
| 1240.2         | 245.1  | 242.3  | 232.9  | 135.0  | 54.5  | 28.1  | 14.7  | 5.4     | 14.5    | 26.4    | 94.7    | 146.6  | 2009          |
| 1355.4         | 288.3  | 274.0  | 234.8  | 125.7  | 59.3  | 32.0  | 11.0  | 9.2     | 12.1    | 35.9    | 93.9    | 179.2  | 2010          |
| 1292.2         | 263.2  | 282.9  | 232.5  | 136.1  | 63.4  | 28.0  | 9.0   | 6.3     | 8.5     | 19.1    | 78.9    | 164.3  | 2011          |
| 1347.1         | 255.8  | 289.3  | 241.5  | 156.8  | 71.7  | 16.4  | 6.5   | 4.8     | 9.0     | 34.1    | 96.7    | 164.5  | 2012          |
| 1220.8         | 241.7  | 248.4  | 208.0  | 118.6  | 70.8  | 32.7  | 14.7  | 6.9     | 7.2     | 35.5    | 73.5    | 163.0  | 2013          |
| 1294.2         | 268.5  | 257.9  | 221.8  | 144.6  | 68.8  | 33.8  | 9.7   | 7.4     | 13.7    | 23.1    | 81.1    | 163.8  | 2014          |
| 1363.5         | 281.5  | 283.7  | 222.5  | 149.8  | 58.2  | 27.0  | 10.0  | 5.8     | 6.3     | 24.1    | 98.8    | 195.8  | 2015          |
| 1318.5         | 299.6  | 273.9  | 215.8  | 125.2  | 65.0  | 29.9  | 13.8  | 5.2     | 6.5     | 27.2    | 97.1    | 159.5  | 2016          |
| 1373.2         | 297.6  | 299.9  | 223.2  | 135.6  | 57.1  | 26.0  | 4.6   | 4.5     | 13.8    | 31.5    | 83.9    | 195.5  | 2017          |
| 1278.8         | 246.6  | 252.4  | 208.7  | 118.1  | 61.0  | 42.9  | 14.6  | 7.3     | 11.3    | 26.7    | 102.7   | 186.5  | 2018          |
| 1305.3         | 279.9  | 242.7  | 238.4  | 132.3  | 42.4  | 19.9  | 9.7   | 6.3     | 12.5    | 31.8    | 107.7   | 181.9  | 2019          |
| 1348.4         | 239.5  | 308.9  | 219.1  | 136.7  | 55.8  | 29.3  | 8.6   | 5.8     | 9.3     | 34.9    | 94.8    | 205.8  | 2020          |
| 1302.6         | 266.42 | 268.51 | 221.87 | 134.47 | 62.01 | 30.00 | 10.09 | 5.95    | 9.82    | 28.40   | 93.75   | 171.35 | المعدل الشهري |

المصدر بالأعتماد على: تطبيق معادلة ثورنثويت للتبخّر

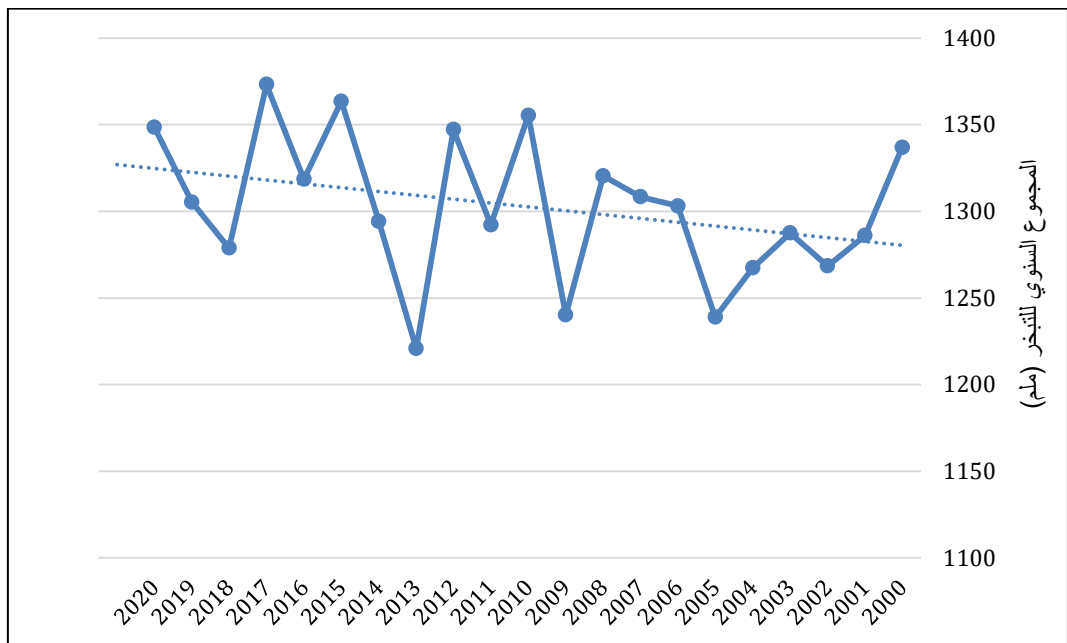


شكل (16) المعدلات الشهرية للتبخّر (ملم) في مدينة المقدادية للمدة (2000-2020)



المصدر بالاعتماد على: بيانات جدول (9)

شكل (17) المجموع السنوي للتبخّر (ملم) في مدينة المقدادية للمدة (2000-2020)



المصدر بالاعتماد على: بيانات جدول (9)

**النتائج**

1. توصل البحث ان اعلى معدلات الاشعاع الشمسي في منطقة الدراسة كان في شهر حزيران اذ بلغ (794 ملي واط / سم<sup>2</sup>/يوم)، وبلغت ادنها في شهر كانون الاول بنحو (280 ملي واط



2. استنتجت الدراسة وجود تبايناً شهرياً في معدلات درجة الحرارة، تبلغ اعلاها في شهر تموز واب بحو (37.2 م°) على التوالي وهي أكثر أشهر السنة حرارة، في حين تسجل اقلها في شهر كانون الثاني بحو (9.7 م°). كما تبين ان اتجاه السير السنوي لمتوسط درجات الحرارة نحو الارتفاع، اذ بلغ اقل معدل حراري نحو (22.9 م°) عام (2013) واعلى معدل حراري بلغ (25.4 م°) عام (2010).
3. توصلت الدراسة ان التباينات الشهرية في معدل سرعة الرياح سجلت اعلاها في شهر تموز بواقع (4.4 م / ث)، وبلغت ادنها في شهر تشرين الثاني بحو (2.8 م/ث).
4. تبين من البحث ان هنالك تبايناً شهرياً في معدلات الرطوبة النسبية اذ بلغت اعلاها في الفصل البارد من السنة وخاصة شهر كانون الثاني بواقع (%) 60.8 في حين بلغت أشهر الصيف اقل مقدار من الرطوبة النسبية وتحديداً في شهر تموز اذ سجلت نحو (%) 17.
- واتضح وجود تباين سنوي وهي بشكل عام تتجه نحو التزايد، اذ سجلت اقل معدل سنوي عام (2000) بمقدار (32.4%)، وبلغ اعلى معدل عام (2018) بمقدار (41.7%).
5. توصل البحث لوجود تباين شهري في كمية التساقط المطري اذ بلغت اعلاها في أشهر الشتاء وبالاخص شهر كانون الثاني اذ سجلت (31.1 ملم) على العكس من أشهر الصيف اذ ينعدم التساقط في أشهر (حزيران، تموز، اب). كما لوحظ تبايناً في المجموع السنوي للأمطار المتساقطة وهي بشكل عام تتجه نحو التناقص، بلغ اعلى مجموع سنوي لها في سنة (2005) بواقع (321.7 ملم) بينما سجلت أدنى مجموع سنوي سنة (2017) بحو (73.8 ملم).

### الهوامش والمصادر

- 1- احمد ، جودت هادي ، دراسة العلاقة بين درجة حرارة الهواء السطحية والتباخر النتح في مدينة كركوك - العراق ، مجلة جامعة كركوك ، المجلد 14 ، العدد 2 ، 2019 ، ص 147.
- 2- احمد ، عبد الرحمن عبد العظيم ايمان ، المناخ والمسكن الحضري في مدينة القاهرة باستخدام نظم المعلومات الجغرافية والاستشعار عن بعد ، رسالة ماجستير (غير منشورة) ، كلية الآداب ، جامعة القاهرة ، 2013 ، ص 23 ، 27.
- 3- الجنابي ، صلاح حميد ، مناخ مدينة الموصل ، مجلة دراسات موصلية ، العدد 28 ، 2010 ، ص 13.
- 4- الجنابي ، صلاح حميد ، مناخ مدينة الموصل ، مجلة دراسات موصلية ، العدد 28 ، 2010 ، ص 13.
- 5- الحساني ، مصطفى فلاح ، مناخ العراق أسس وتطبيقات ، دار مسامير للطباعة والنشر ، السماوة ، 2020 ، ص 50 و 55.
- 6- الحساني ، مصطفى فلاح ، مناخ العراق أسس وتطبيقات ، مصدر سابق ، ص 74.
- 7- الحساني ، مصطفى فلاح ، مناخ العراق أسس وتطبيقات ، دار مسامير للطباعة والنشر ، السماوة ، 2020 ، ص 63.
- 8- الحسان ، احمد جاسم ، وحيدر صادق كاظم ، التحليل الموضعي للتباينات المناخية المكانية للمحطات الانوائية في محافظة البصرة ، مجلة الخليج العربي ، المجلد 50 ، العدد 2 ، 2022 ، ص 349.
- 9- خلف ، مريم خير الله ، تأثير المناخ على تصميم المساكن في البصرة - دراسة مقارنة بين قضاء المدينة وقضاء الزبير - مجلة الدراسات المستدامة ، المجلد 5 ، العدد 2 ، 2023 ، ص 1828 .)
- 10- الذي ، سalar خضر علي ، مناخ العراق القديم والمعاصر ، دار الشؤون الثقافية العامة ، ط 1 ، بغداد ، 2013 ، ص 323.



11- الرواи ، عادل سعيد وقصي عبد المجيد السامرائي، المناخ التطبيقي، مطبعة جامعة بغداد، 1990، ص105.

12- Safa Sadeq Hyader, and Susan Abed Hassan, The Effect of Different Urban forms on microclimate in hot Arid climates, Kerbala Journal for engineering science, Vol. 2, No. 1, 2022, page 6.

13- الطائي، محمد جاسم حمادي ، خدمة الماء الصافي في مدينة المقدادية، رسالة ماجستير، جامعة ديالى، كلية التربية للعلوم الإنسانية، 2014، ص8.

(6) عبد الرحمن، ميسرة عدنان ، خصائص المرتفعات والمنخفضات الجوية الباردة في العراق، شبكة المؤتمرات العربية، المؤتمر الدولي الأول للعلوم والآداب، الجامعة المستنصرية، 2017، ص227.

(10) العيداني ، عباس عبد الحسن كاظم ، وقاسم مطر الخالدي، المتطلبات التخطيطية للمعالجات المناخية - مدينة الزبير انموذجاً، مركز دراسات الكوفة، العدد 30، 2013، ص181.

(16) بيانات وكالة ناسا من الموقـع: <http://geoturn.blogspot.com/2020/07/nasa.html>